PR FESR 2021-2027

Obiettivo Specifico 2.1 - "Promuovere l'efficienza energetica
e ridurre le emissioni di gas a effetto serra"
Azione 2.1.1 - "Efficienza energetica edifici pubblici (non residenziali)"

COMUNE DI PADOVA

Settore Lavori Pubblici
Via N.Tommaseo n. 60 - Padova

PROGETTO ESECUTIVO

PAESC - AZIONE "Una città più efficiente/4"

Efficientamento energetico degli impianti termici del Centro Culturale "San Gaetano"

N° Progetto Nome file **APPR_14_ESE_P.SDP_San_Gaetano** Data **Settembre 2025**	CUP **H94H24000010006** LLPP EDP 2024/051	Elaborato **03** **Opere edili strutturali** **Relazione di calcolo**

Progettisti	Progettisti	Rup	Capo Settore
HSE - Hera Servizi Energetici S.p.a Via del Cotonificio, 60 - 33100 Udine T 0432093000 - F 0432093093 E heraservizienergia@pec.gruppohera.it	HSE - HERA Servizi Energetici S.P.A. dott. Davanzo Massimo Via Cotonificio, 23/a 35129 Padova (PD) E massimo.davanzo@gruppohera.com	Arch. Domenico Lo Bosco	Dott. Danilo Guarti

Firmato digitalmente da:
Davanzo Massimo
Data: 14/11/2025 17:02:11

San Gaetano - Impianti

Comune di: Padova

Ufficio di deposito: Comune di Padova

Oggetto: Allestimento impianti in copertura

1 Normative

D.M. 17-01-18
Norme Tecniche per le Costruzioni

Circolare 7 21-01-19 C.S.LL.PP
Istruzioni per l'applicazione dell'Aggiornamento delle N.T.C. di cui al decreto ministeriale 17 gennaio 2018.

Eurocodici
EN 1995-1-1:2004 +AC:2006 + A1:2008 + A2:2014
ETA-03/0050
ETA-07/0086
ETA-08/0147

2 Descrizione del software

Descrizione del programma Sismicad
Si tratta di un programma di calcolo strutturale che nella versione più estesa è dedicato al progetto e verifica degli elementi in cemento armato, acciaio, muratura e legno di opere civili.
Il programma utilizza come analizzatore e solutore del modello strutturale un proprio solutore agli elementi finiti tridimensionale fornito col pacchetto. Il programma è sostanzialmente diviso in tre moduli:
- un pre processore che consente l'introduzione della geometria e dei carichi e crea il file dati di input al solutore;
- il solutore agli elementi finiti;
- un post processore che a soluzione avvenuta elabora i risultati eseguendo il progetto e la verifica delle membrature e producendo i grafici ed i tabulati di output.

Specifiche tecniche
Denominazione del software: Sismicad 13
Produttore del software: Concrete
Concrete srl, via della Pieve, 19, 35121 PADOVA - Italy
http://www.concrete.it
Rivenditore: CONCRETE SRL - Via della Pieve 19 - 35121 Padova - tel.049-8754720
Versione: 13.0
Identificatore licenza: SW-110336426
Intestatario della licenza: Masuzzo ing. Sergio - Via Modigliani, 5/B - Albignasego (PD)
Versione regolarmente licenziata

Schematizzazione strutturale e criteri di calcolo delle sollecitazioni
Il programma schematizza la struttura attraverso l'introduzione nell'ordine di fondazioni, poste anche a quote diverse, platee, platee nervate, plinti e travi di fondazione poggianti tutte su suolo elastico alla Winkler, di elementi verticali, pilastri e pareti in c.a. anche con fori, di orizzontamenti costituiti da solai orizzontali e inclinati (falde), e relative travi di piano e di falda; è ammessa anche l'introduzione di elementi prismatici in c.a. di interpiano con possibilità di collegamento in inclinato a solai posti a quote diverse.
I nodi strutturali possono essere connessi solo a travi, pilastri e pareti, simulando così impalcati infinitamente deformabili nel piano, oppure a elementi lastra di spessore dichiarato dall'utente simulando in tal modo impalcati a rigidezza finita. I nodi appartenenti agli impalcati orizzontali possono essere connessi rigidamente ad uno o più nodi principali giacenti nel piano dell'impalcato; generalmente un nodo principale coincide con il baricentro delle masse. Tale opzione, oltre a ridurre significativamente i tempi di elaborazione, elimina le approssimazioni numeriche connesse all'utilizzo di elementi lastra quando si richiede l'analisi a impalcati infinitamente rigidi.
Per quanto concerne i carichi, in fase di immissione dati, vengono definite, in numero a scelta dell'utente, condizioni di carico elementari le quali, in aggiunta alle azioni sismiche e variazioni termiche, vengono combinate attraverso coefficienti moltiplicativi per fornire le combinazioni richieste per le verifiche successive. L'effetto di disassamento delle forze orizzontali, indotto ad esempio dai torcenti di piano per costruzioni in zona sismica, viene simulato attraverso l'introduzione di eccentricità planari aggiuntive le quali costituiscono ulteriori condizioni elementari di carico da cumulare e combinare secondo i criteri del paragrafo precedente.
Tipologicamente sono ammessi sulle travi e sulle pareti carichi uniformemente distribuiti e carichi trapezoidali;lungo le aste e nei nodi di incrocio delle membrature sono anche definibili componenti di forze e coppie concentrate comunque dirette nello spazio. Sono previste distribuzioni di temperatura, di intensità a scelta dell'utente, agenti anche su singole porzioni di struttura.
Il calcolo delle sollecitazioni si basa sulle seguenti ipotesi e modalità:
- travi e pilastri deformabili a sforzo normale, flessione deviata, taglio deviato e momento torcente. Sono previsti coefficienti riduttivi dei momenti di inerzia a scelta dell'utente per considerare la riduzione della rigidezza flessionale e torsionale per effetto della fessurazione del conglomerato cementizio. E' previsto un moltiplicatore della rigidezza assiale dei pilastri per considerare, se pure in modo approssimato, l'accorciamento dei pilastri per sforzo normale durante la costruzione;
- le travi di fondazione su suolo alla Winkler sono risolte in forma chiusa tramite uno specifico elemento finito;
- le pareti in c.a. sono analizzate schematizzandole come elementi lastra-piastra discretizzati con passo massimo assegnato in fase di immissione dati;
- le pareti in muratura possono essere schematizzate con elementi lastra-piastra con spessore flessionale ridotto rispetto allo spessore membranale;
- i plinti su suolo alla Winkler sono modellati con la introduzione di molle verticali elastoplastiche. La traslazione orizzontale a scelta dell'utente è bloccata o gestita da molle orizzontali di modulo di reazione proporzionale al verticale;
- i pali sono modellati suddividendo l'asta in più aste immerse in terreni di stratigrafia definita dall'utente. Nei nodi di divisione tra le aste vengono inserite molle assialsimmetriche elastoplastiche precaricate dalla spinta a riposo che hanno come pressione limite minima la spinta attiva e come pressione limite massima la spinta passiva modificabile attraverso opportuni coefficienti;
- i plinti su pali sono modellati attraverso aste di di rigidezza elevata che collegano un punto della struttura in elevazione con le aste che simulano la presenza dei pali;

- le piastre sono discretizzate in un numero finito di elementi lastra-piastra con passo massimo assegnato in fase di immissione dati; nel caso di platee di fondazione i nodi sono collegati al suolo da molle aventi rigidezze alla traslazione verticale ed richiesta anche orizzontale;
- la deformabilità nel proprio piano di piani dichiarati non infinitamente rigidi e di falde (piani inclinati) può essere controllata attraverso la introduzione di elementi membranali nelle zone di solaio;
- i disassamenti tra elementi asta sono gestiti automaticamente dal programma attraverso la introduzione di collegamenti rigidi locali;
- alle estremità di elementi asta è possibile inserire svincolamenti tradizionali così come cerniere parziali (che trasmettono una quota di ciò che trasmetterebbero in condizioni di collegamento rigido) o cerniere plastiche;
- alle estremità di elementi bidimensionali è possibile inserire svincolamenti con cerniere parziali del momento flettente avente come asse il bordo dell'elemento;
- il calcolo degli effetti del sisma è condotto, a scelta dell'utente, con analisi statica lineare, con analisi dinamica modale o con analisi statica non lineare, in accordo alle varie normative adottate. Le masse, nel caso di impalcati dichiarati rigidi sono concentrate nei nodi principali di piano altrimenti vengono considerate diffuse nei nodi giacenti sull'impalcato stesso. Nel caso di analisi sismica vengono anche controllati gli spostamenti di interpiano.

Verifiche delle membrature in acciaio

Le verifiche delle membrature in acciaio (solo per utenti Sismicad acciaio) possono essere condotte secondo CNR 10011 (stato limite o tensioni ammissibili), CNR 10022, D.M. 14-01-08, al D.M. 17-01-18 o Eurocodice 3.
Sono previste verifiche di resistenza e di instabilità.

3 Preferenze di normativa

Analisi

Normativa	D.M. 17-01-18 (N.T.C.)	
Tipo di costruzione	3 - Costruzioni con livelli di prestazioni elevati	
Vn	100	
Classe d'uso	III	
Vr	150	
Tipo di analisi	Lineare dinamica	
Considera sisma Z	Solo se Ag >= 0.15 g, conformemente a §3.2.3.1	
Località	Padova; Latitudine ED50 45,4097° (45° 24' 35''); Longitudine ED50 11,8832° (11° 52' 60''); Altitudine s.l.m. 17,04 m.	
Categoria del suolo	C - Depositi di terreni a grana grossa mediamente addensati o terreni a grana fina mediamente consistenti	
Categoria topografica	T1 - Superficie pianeggiante, pendii e rilievi isolati con inclinazione media i<=15°	
Ss orizzontale SLO	1.5	
Tb orizzontale SLO	0.152	[s]
Tc orizzontale SLO	0.457	[s]
Td orizzontale SLO	1.782	[s]
Ss orizzontale SLD	1.5	
Tb orizzontale SLD	0.161	[s]
Tc orizzontale SLD	0.482	[s]
Td orizzontale SLD	1.82	[s]
Ss orizzontale SLV	1.5	
Tb orizzontale SLV	0.176	[s]
Tc orizzontale SLV	0.527	[s]
Td orizzontale SLV	2.079	[s]
St	1	
PVr SLO (%)	81	
Tr SLO	90.32	
Ag/g SLO	0.0456	
Fo SLO	2.507	
Tc* SLO	0.289	[s]
PVr SLD (%)	63	
Tr SLD	150.87	
Ag/g SLD	0.0549	
Fo SLD	2.546	
Tc* SLD	0.313	[s]
PVr SLV (%)	10	
Tr SLV	1423.68	
Ag/g SLV	0.1197	
Fo SLV	2.617	
Tc* SLV	0.357	[s]
Smorzamento viscoso (%)	5	
Classe di duttilità	Non dissipativa	
Rotazione del sisma	0	[deg]
Quota dello '0' sismico	0	[cm]
Regolarità in pianta	No	
Regolarità in elevazione	No	
Edificio acciaio	Si	
Edificio esistente	No	
Altezza costruzione	638	[cm]
C1	0.085	
T1,x	0.34122	[s]
T1,y	0.34122	[s]
λ SLO,x	1	
λ SLO,y	1	
λ SLD,x	1	
λ SLD,y	1	
λ SLV,x	1	
λ SLV,y	1	
Limite spostamenti interpiano SLD	0.005	
Fattore di comportamento per sisma SLD X	1.5	
Fattore di comportamento per sisma SLD Y	1.5	
Fattore di comportamento per sisma SLV X	1.5	
Fattore di comportamento per sisma SLV Y	1.5	
Coefficiente di sicurezza per carico limite (fondazioni superficiali)	2.3	
Coefficiente di sicurezza per scorrimento (fondazioni superficiali)	1.1	
Coefficiente di sicurezza portanza verticale pali infissi, punta	1.15	
Coefficiente di sicurezza portanza verticale pali infissi, laterale compressione	1.15	
Coefficiente di sicurezza portanza verticale pali infissi, laterale trazione	1.25	

Coefficiente di sicurezza portanza verticale pali trivellati, punta	1.35	
Coefficiente di sicurezza portanza verticale pali trivellati, laterale compressione	1.15	
Coefficiente di sicurezza portanza verticale pali trivellati, laterale trazione	1.25	
Coefficiente di sicurezza portanza verticale micropali, punta	1.35	
Coefficiente di sicurezza portanza verticale micropali, laterale compressione	1.15	
Coefficiente di sicurezza portanza verticale micropali, laterale trazione	1.25	
Coefficiente di sicurezza portanza trasversale pali	1.3	
Fattore di correlazione resistenza caratteristica dei pali in base alle verticali indagate	1.7	
Coefficiente di sicurezza per ribaltamento (plinti superficiali)	1.15	
Esegui verifiche in combinazioni SLD secondo Circolare 7	Si	

Verifiche C.A.

Normativa	D.M. 17-01-18 (N.T.C.)	
γs (fattore di sicurezza parziale per l'acciaio)	1.15	
γc (fattore di sicurezza parziale per il calcestruzzo)	1.5	
Limite σc/fck in combinazione rara	0.6	
Limite σc/fck in combinazione quasi permanente	0.45	
Limite σf/fyk in combinazione rara	0.8	
Coefficiente di riduzione della τ per cattiva aderenza	0.7	
Dimensione limite fessure w1 §4.1.2.2.4	0.02	[cm]
Dimensione limite fessure w2 §4.1.2.2.4	0.03	[cm]
Dimensione limite fessure w3 §4.1.2.2.4	0.04	[cm]
Fattori parziali di sicurezza unitari per meccanismi duttili di strutture esistenti con fattore q	Si	
Copriferro secondo EC2	No	
αcc elementi nuovi nelle combinazioni sismiche	0.85	
αcc elementi esistenti	0.85	

Verifiche legno

Normativa	D.M. 17-01-18 (N.T.C.)
γM combinazioni fondamentali massiccio	1.5
γM combinazioni fondamentali lamellare	1.45
γM combinazioni fondamentali unioni	1.5
γM combinazioni eccezionali	1
γM combinazioni esercizio	1
Kmod durata istantaneo, classe 1	1.1
Kmod durata istantaneo, classe 2	1.1
Kmod durata istantaneo, classe 3	0.9
Kmod durata breve, classe 1	0.9
Kmod durata breve, classe 2	0.9
Kmod durata breve, classe 3	0.7
Kmod durata media, classe 1	0.8
Kmod durata media, classe 2	0.8
Kmod durata media, classe 3	0.65
Kmod durata lunga, classe 1	0.7
Kmod durata lunga, classe 2	0.7
Kmod durata lunga, classe 3	0.55
Kmod durata permanente, classe 1	0.6
Kmod durata permanente, classe 2	0.6
Kmod durata permanente, classe 3	0.5
Kdef classe 1	0.6
Kdef classe 2	0.8
Kdef classe 3	2

Verifiche acciaio

Normativa	D.M. 17-01-18 (N.T.C.)
γm0	1.05
γm1	1.05
γm2	1.25
Coefficiente riduttivo per effetto vettoriale	0.7
Calcolo coefficienti C1, C2, C3 per Mcr	automatico
Coefficienti α, β per flessione deviata	unitari
Verifica semplificata conservativa	si
L/e0 iniziale per profili accoppiati compressi	500
Metodo semplificato formula (4.2.82)	si
Escludi § 6.2.6.7 EN 1993-1-8:2005 + AC:2009 in 7.5.4.3-7.5.4.5	si
Applica Nota 1 del prospetto 6.2	si
Riduzione fy per tubi tondi di classe 4	no
Limite spostamento relativo interpiano e monopiano colonne	0.00333
Limite spostamento relativo complessivo multipiano colonne	0.002
Considera taglio resistente estremità sagomati	no
Fattori parziali di sicurezza unitari per meccanismi duttili di strutture esistenti con fattore q	si
Classe 3 per verifiche sismiche non dissipative profili	No

Verifiche alluminio

Normativa	D.M. 17-01-18 (N.T.C.)
γm1	1.15
γm2	1.25

Verifiche pannelli gessofibra

Normativa	EN 1995-1-1:2004 +AC:2006 + A1:2008 + A2:2014; ETA-03/0050; ETA-07/0086; ETA-08/0147
a	7
b	-0.7
c	0.9
Kmod durata istantaneo, classe 1	1.1
Kmod durata istantaneo, classe 2	0.8
Kmod durata breve, classe 1	0.8
Kmod durata breve, classe 2	0.6
Kmod durata media, classe 1	0.6
Kmod durata media, classe 2	0.45
Kmod durata lunga, classe 1	0.4
Kmod durata lunga, classe 2	0.3
Kmod durata permanente, classe 1	0.2
Kmod durata permanente, classe 2	0.15

4 Spettri

***Acc./g**: Accelerazione spettrale normalizzata ottenuta dividendo l'accelerazione spettrale per l'accelerazione di gravità.*
***Periodo**: Periodo di vibrazione.*

Spettro di risposta elastico in accelerazione delle componenti orizzontali SLO § 3.2.3.2.1 [3.2.2]

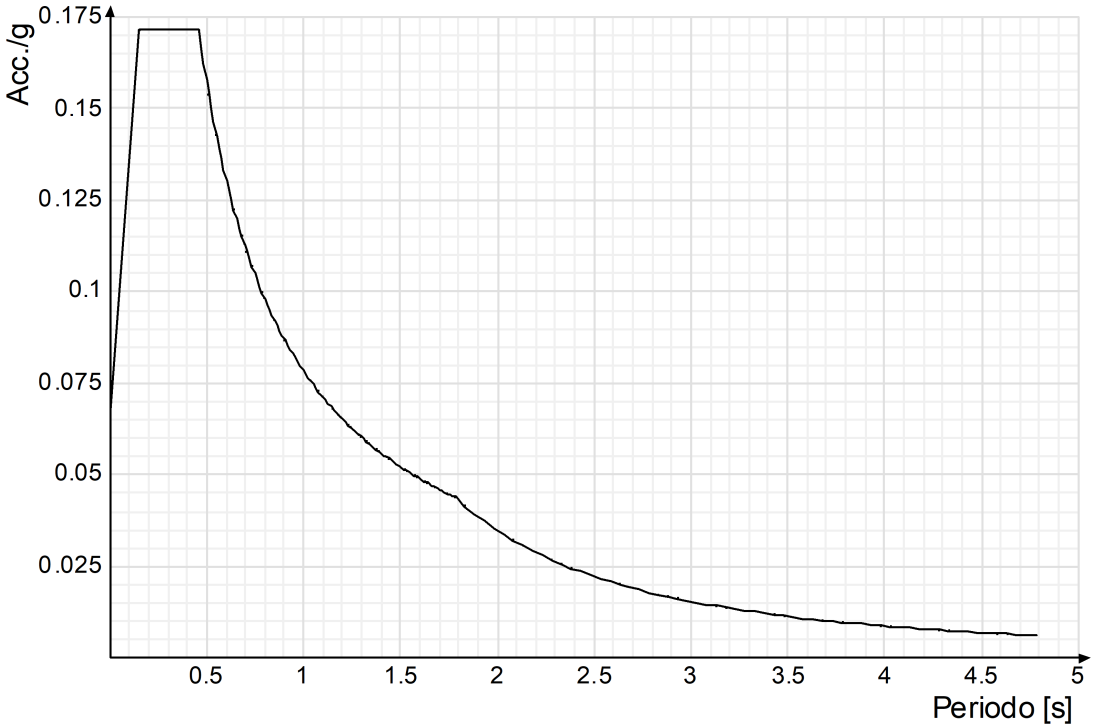

Spettro di risposta elastico in accelerazione delle componenti orizzontali SLD § 3.2.3.2.1 [3.2.2]

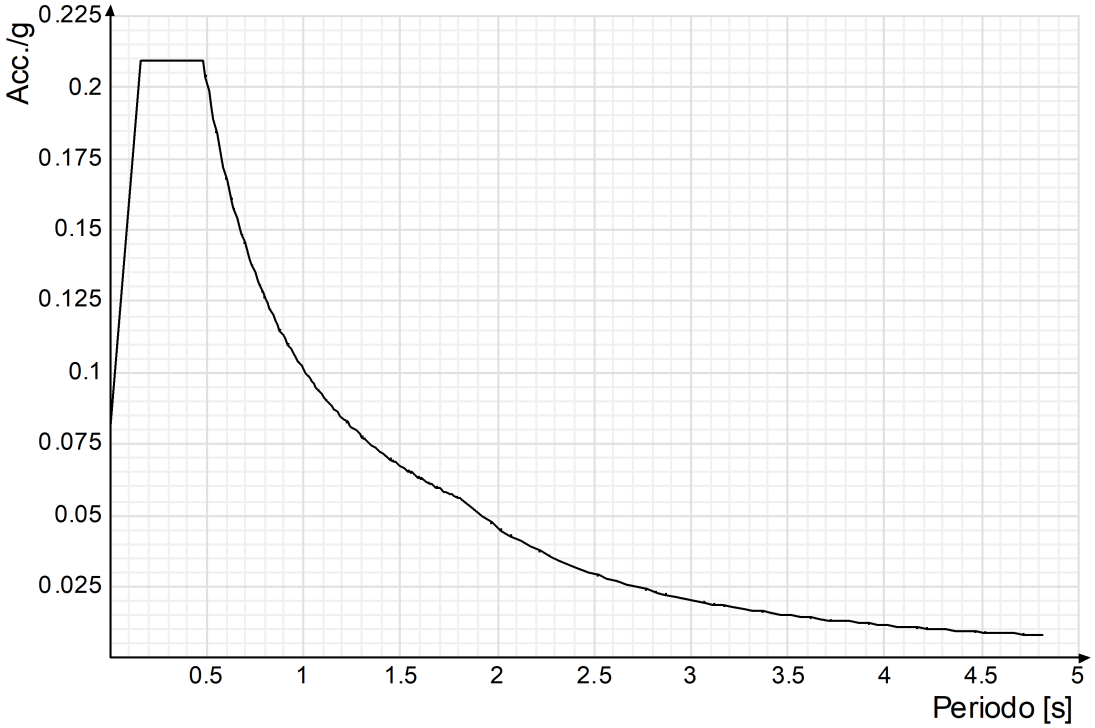

Spettro di risposta elastico in accelerazione delle componenti orizzontali SLV § 3.2.3.2.1 [3.2.2]

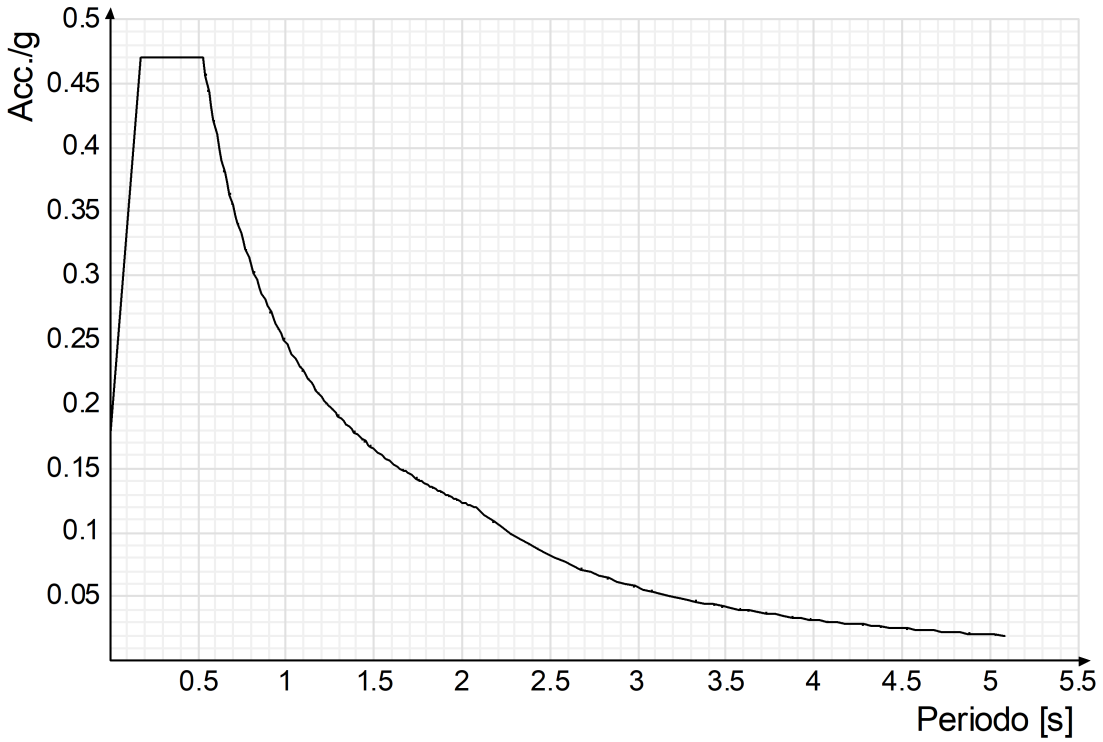

Spettro di risposta di progetto in accelerazione delle componenti orizzontali SLO § 3.2.3.4

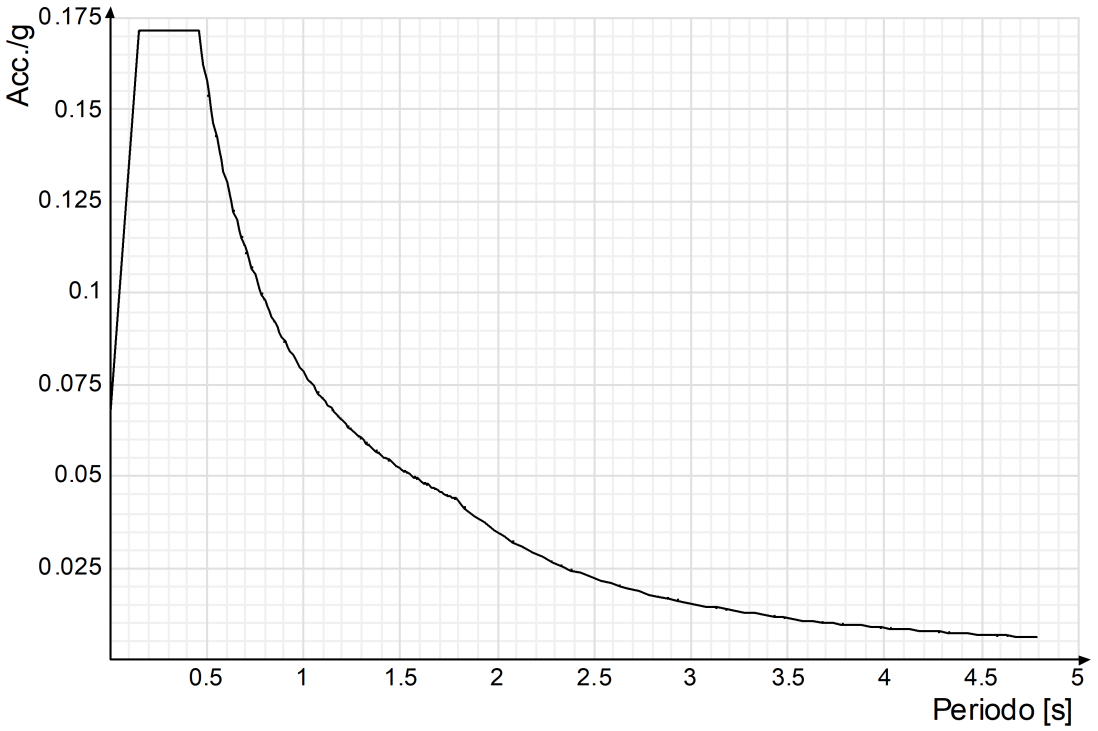

Spettro di risposta di progetto in accelerazione della componente X SLD § 3.2.3.5

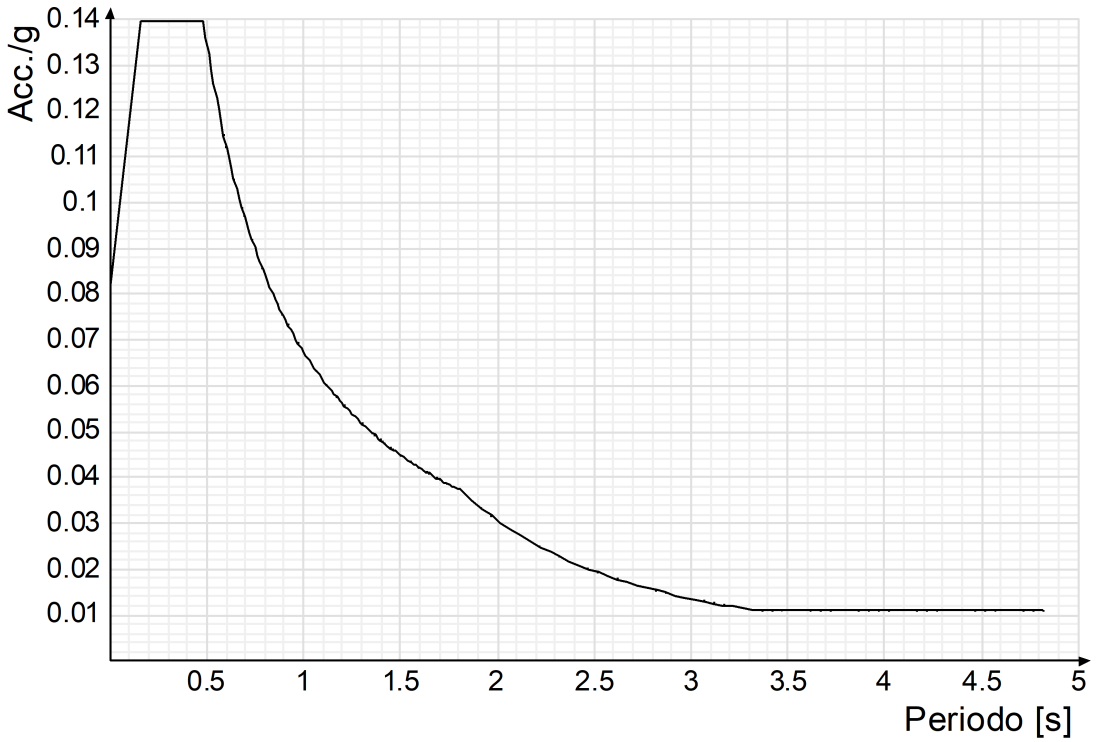

Spettro di risposta di progetto in accelerazione della componente Y SLD § 3.2.3.5

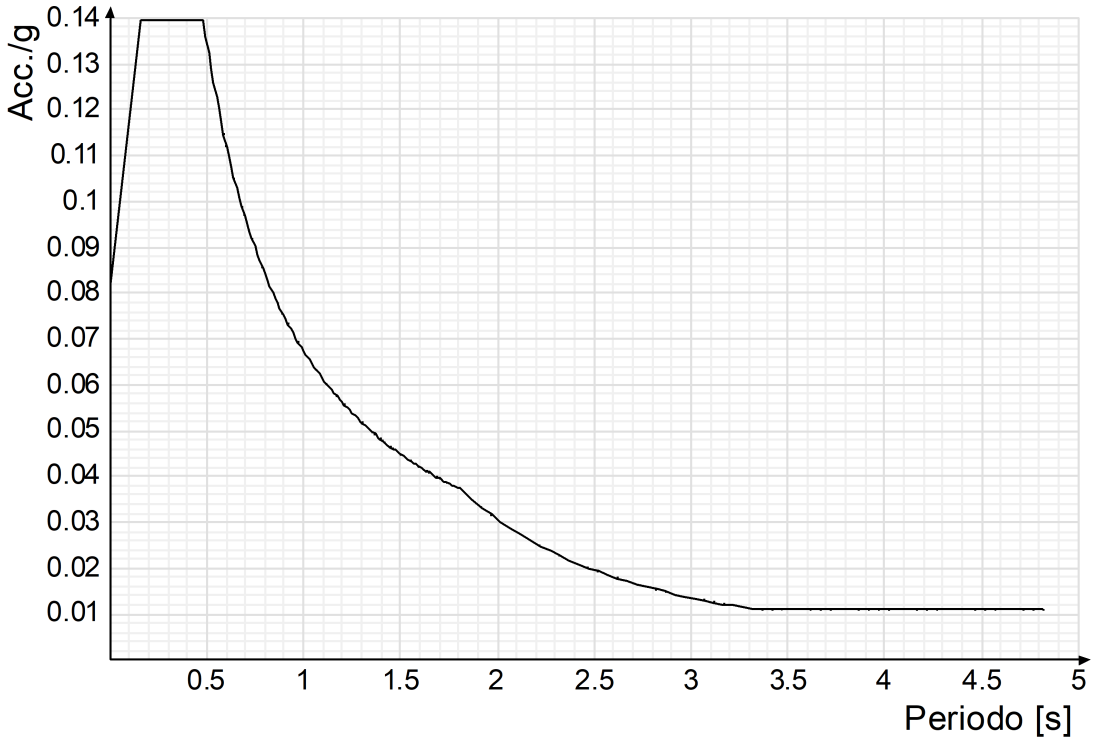

Spettro di risposta di progetto in accelerazione della componente X SLV § 3.2.3.5

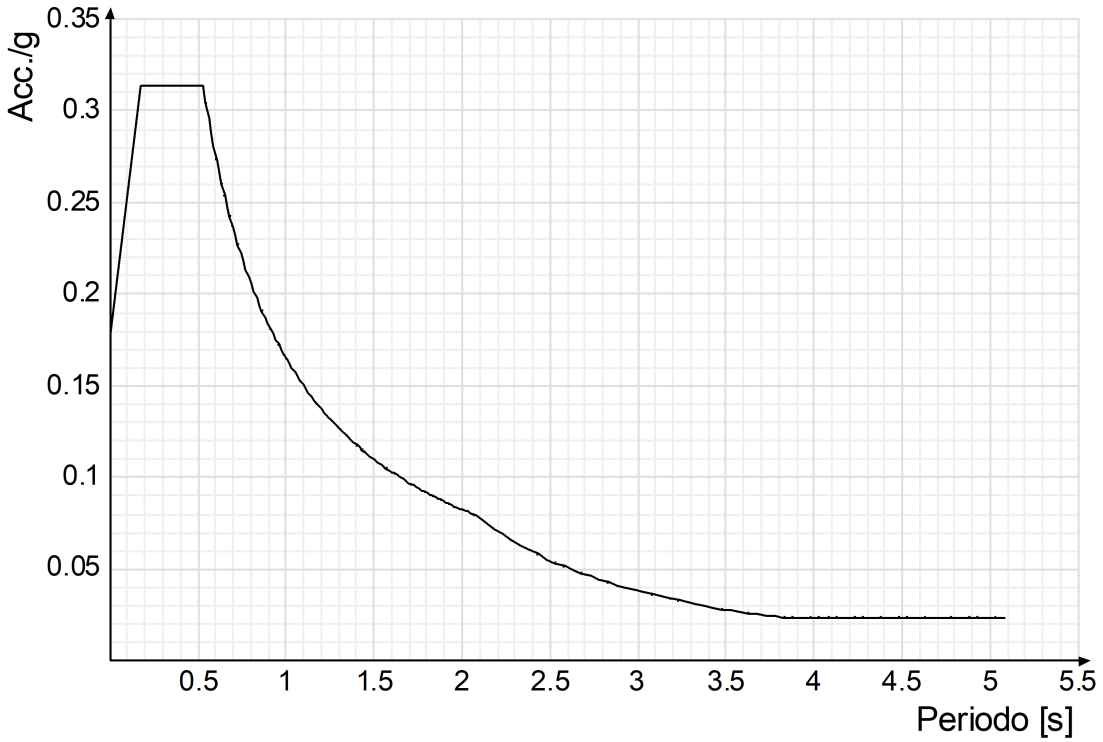

Spettro di risposta di progetto in accelerazione della componente Y SLV § 3.2.3.5

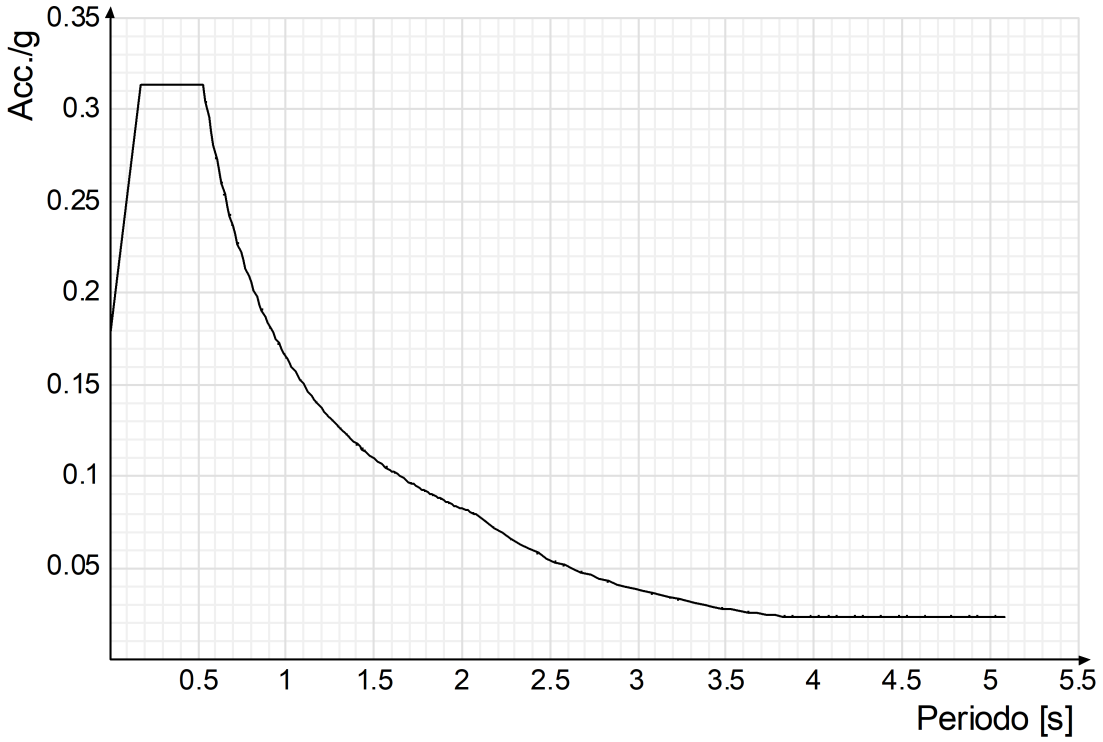

Confronti spettri SLV-SLD

Vengono confrontati lo spettro Spettro di risposta di progetto in accelerazione della componente X SLD § 3.2.3.5 (di colore rosso) e Spettro di risposta di progetto in accelerazione della componente X SLV § 3.2.3.5 (di colore nero).

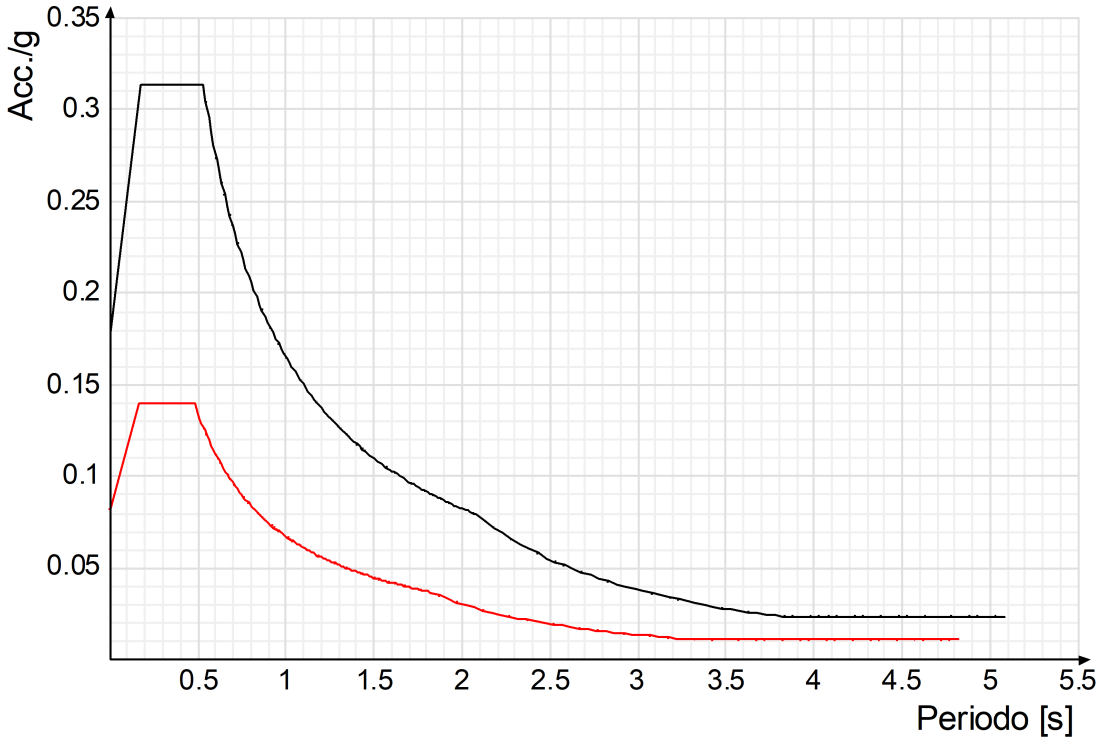

Vengono confrontati lo spettro Spettro di risposta di progetto in accelerazione della componente Y SLD § 3.2.3.5 (di colore rosso) e Spettro di risposta di progetto in accelerazione della componente Y SLV § 3.2.3.5 (di colore nero).

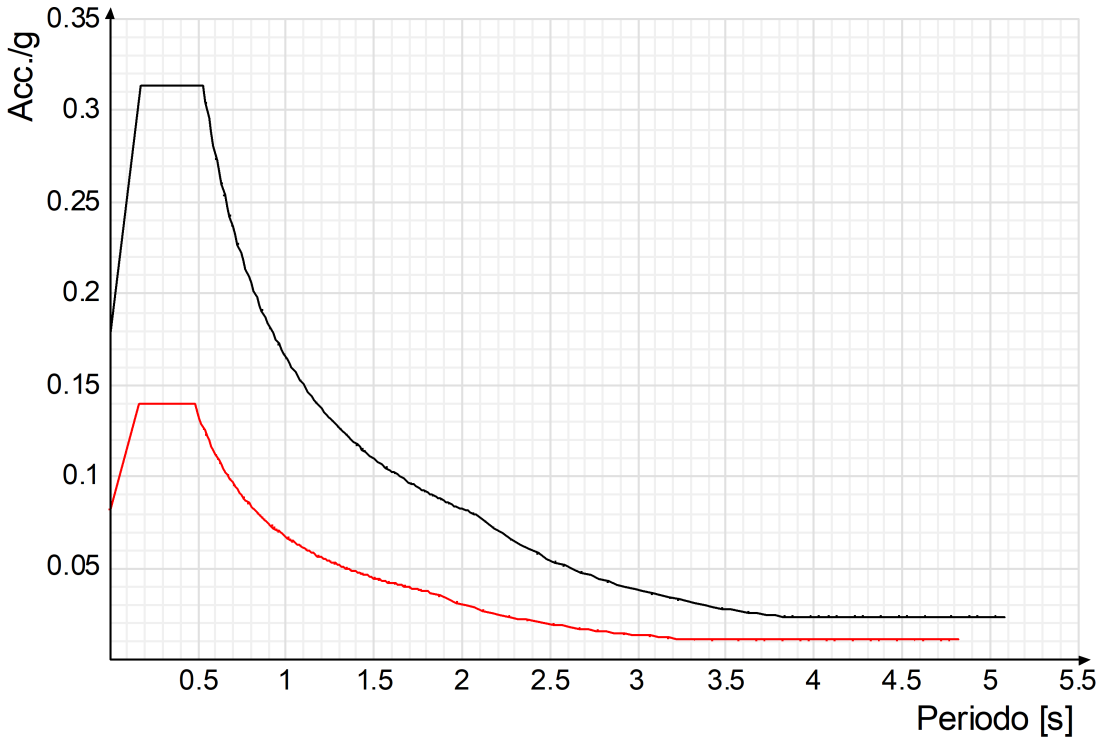

5 Azione del vento

Zona	Zona 1	
Rugosità	Aree urbane (non di classe A), suburbane, industriali e boschive	
Categoria esposizione	IV	
Vb	2500	[cm/s]
Tr	50	[cm/s]
Ct	1	[cm/s]
qr	0.00391	[daN/cm²]
Quota piano campagna	1500	[cm]

6 Azione della neve

Zona	Zona II	
Classe topografica	Aree in cui non è presente una significativa rimozione di neve sulla costruzione prodotta dal vento, a causa del terreno, altre costruzioni o alberi	
Ce	1	
Ct	1	
Tr	50	
qsk	0.01	[daN/cm²]

Copertura ad una falda D.M. 17-01-18 §3.4.3.2

α	0	[deg]
μ	0.8	
q	0.008	[daN/cm²]

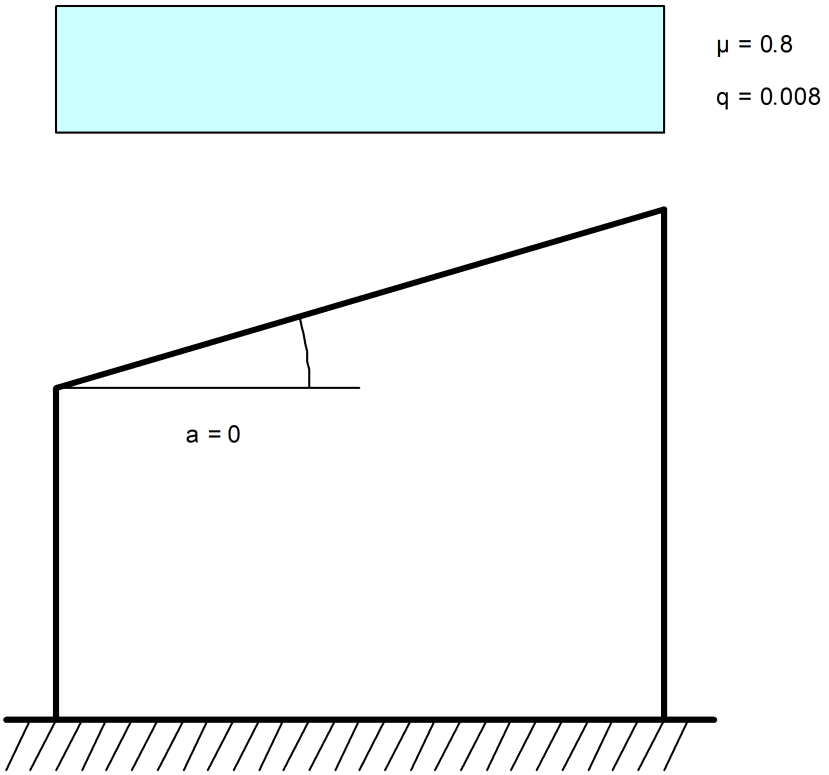

Sostegno Macchine

2 UPN 140 con piastre superiori da 8 mm

J=2962 cm^4 W=379 cm^3

M_{RD} = 992.619 daNcm

M_{SD} = 124.932 daNcm

Quindi $M_{RD} > M_{SD}$

Deformazione pari a η = 0,311 cm

R= 763 - 948 Kg

Sostegno tubazioni

UPN 140 e due UPN80

J=2962 cm^4 W=379 cm^3

M_{RD} = 138.809 daNcm

M_{SD} = 20.418 daNcm

Quindi $M_{RD} > M_{SD}$

Zona di scavalcamento tubazioni

UPN 220

J=2962 cm^4 W=379 cm^3

M_{RD} = 641.667 daNcm

M_{SD} = 345.742 daNcm

Quindi $M_{RD} > M_{SD}$

Valutazioni in merito agli interventi di adeguamento

Come da paragrafo 8.4.3. non si riscontra la necessità di procedere all'adeguamento delle opere esistenti in quanto gli incrementi dei carichi in fondazione risultano inferiori al 10% valutati secondo la combinazione caratteristica di cui all'equazione 2.5.2 e 2.5.3.

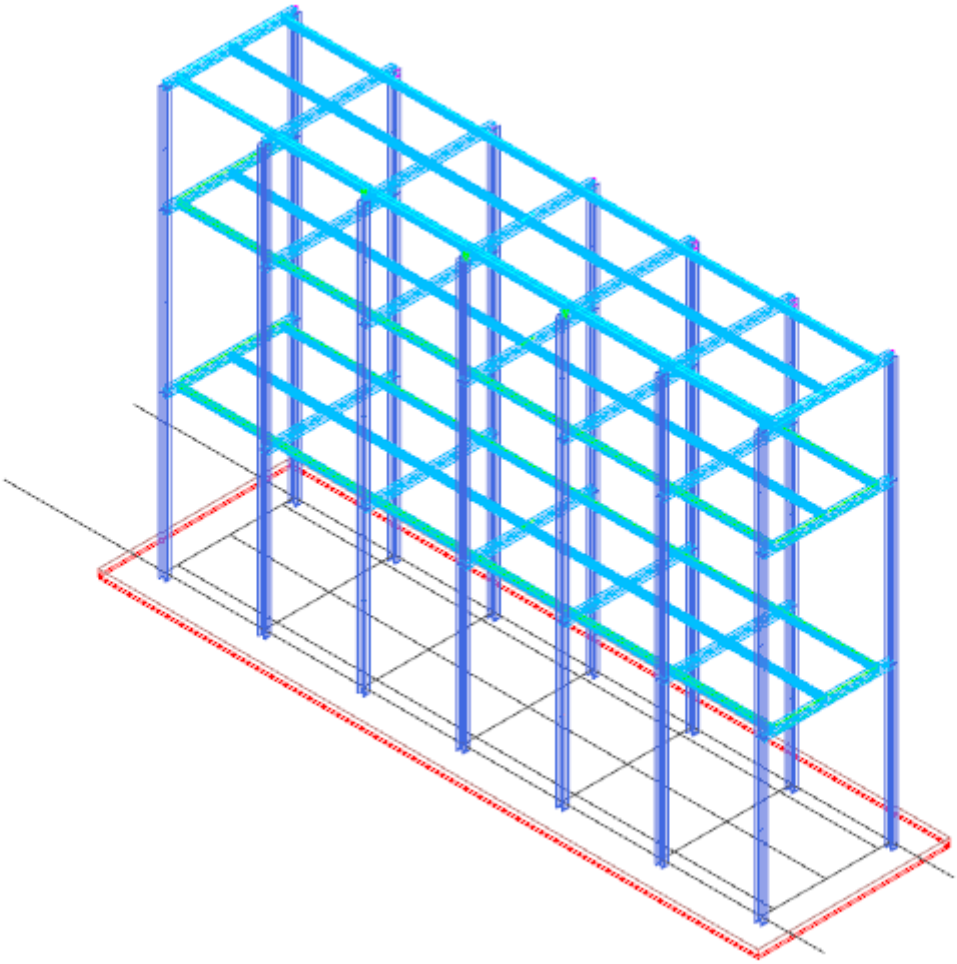

Struttura

1 Verifiche superelementi aste acciaio laminate

Le unità di misura elencate nel capitolo sono in [cm, daN, deg] ove non espressamente specificato.

***Sezione**: sezione in acciaio.*
***Rotazione**: rotazione della sezione. [deg]*
***Area**: area inerziale nel sistema geometrico centrato nel baricentro. [cm²]*
***Jx**: momento d'inerzia attorno all'asse orizzontale baricentrico di definizione della sezione. [cm4]*
***Jy**: momento d'inerzia attorno all'asse verticale baricentrico di definizione della sezione. [cm4]*
***ix**: raggio di inerzia relativo all'asse x. [cm]*
***iy**: raggio di inerzia relativo all'asse y. [cm]*
***Wx**: modulo di resistenza elastico minimo relativo all'asse x. [cm³]*
***Wy**: modulo di resistenza elastico minimo relativo all'asse y. [cm³]*
***Wplx**: modulo di resistenza plastico relativo all'asse x. [cm³]*
***Wply**: modulo di resistenza plastico relativo all'asse y. [cm³]*
***X**: distanza dal nodo iniziale. [cm]*
***Comb.**: combinazione di verifica.*
***Sfruttamento**: rapporto di sfruttamento per la verifica in esame, inverso del coefficiente di sicurezza. Verificato se minore o uguale di 1.*
***Classe**: classe della sezione.*
***NEd**: sollecitazione assiale. [daN]*
***Nc,Rd**: resistenza assiale a compressione ridotta per taglio. [daN]*
***Nt,Rd**: resistenza assiale a trazione ridotta per taglio. [daN]*
***Riduzione da taglio**: rapporto tra la resistenza assiale ridotta per taglio e la resistenza assiale.*
***ρx**: coefficiente di riduzione della resistenza di snervamento per taglio in direzione x.*
***ρy**: coefficiente di riduzione della resistenza di snervamento per taglio in direzione y.*
***Verifica**: stato di verifica.*
***VEd**: sollecitazione di taglio. [daN]*
***Vc,Rd**: resistenza a taglio. [daN]*
***Av**: area resistenza a taglio. [cm²]*
***Interazione taglio-torsione**: indica se è possibile ridurre il taglio resistente per presenza di torsione.*

***Riduzione torsione**: coefficiente riduttivo della resistenza a taglio per presenza di torsione.*
***NRd**: resistenza assiale ridotta per taglio. [daN]*
***Rid. NRd da VEd**: rapporto tra la resistenza assiale ridotta per taglio e la resistenza assiale.*
***Mx,Ed**: sollecitazione flettente attorno x-x. [daN·cm]*
***Mx,Rd**: resistenza a flessione attorno x-x ridotta. [daN·cm]*
***Rid. Mx,Rd da VEd**: rapporto tra la resistenza flettente ridotta per taglio e la resistenza flettente attorno x-x.*
***Rid. Mx,Rd da NEd**: rapporto tra la resistenza flettente ridotta per sforzo normale e taglio e la resistenza flettente ridotta per taglio attorno x-x.*
***My,Ed**: sollecitazione flettente attorno y-y. [daN·cm]*
***My,Rd**: resistenza a flessione attorno y-y ridotta. [daN·cm]*
***Rid. My,Rd da VEd**: rapporto tra la resistenza flettente ridotta per taglio e la resistenza flettente attorno y-y.*
***Rid. My,Rd da NEd**: rapporto tra la resistenza flettente ridotta per sforzo normale e taglio e la resistenza flettente ridotta per taglio attorno y-y.*
***α**: esponente α per flessione deviata.*
***β**: esponente β per flessione deviata.*
***Numero rit.**: numero del ritegno.*
***Presente**: indica se il ritegno è presente o meno.*
***Ascissa**: ascissa del ritegno rispetto al nodo iniziale del superelemento o ascissa iniziale e finale della campata. [cm]*
***Campata**: campata tra i ritegni.*
***βx/m**: coefficiente di lunghezza efficace per rotazione attorno a x/m.*
***Vincolo a entrambi estremi**: indica se il tratto è vincolato a entrambi gli estremi.*
***λx/m**: snellezza attorno a x/m del tratto tra i due ritegni.*
***λVer**: snellezza accettabile.*
***βy/n**: coefficiente di lunghezza efficace per rotazione attorno a y/n.*
***k,LT**: coefficiente di lunghezza efficace per rotazione nel calcolo del momento critico ENV1993-1-1 F 1.2(3).*
***kw,LT**: coefficiente di lunghezza efficace per ingobbamento nel calcolo del momento critico ENV1993-1-1 F 1.2(4).*
***λy/n**: snellezza attorno a y/n del tratto tra i due ritegni.*
***NRk**: resistenza caratteristica assiale. [daN]*
***Mx,Ed max**: momento sollecitante massimo attorno l'asse x-x tra due ritegni all'inflessione attorno x-x. [daN·cm]*
***Mx,Rk**: resistenza caratteristica a flessione attorno l'asse x-x. [daN·cm]*
***My,Ed max**: momento sollecitante massimo attorno l'asse y-y tra due ritegni all'inflessione attorno y-y. [daN·cm]*
***My,Rk**: resistenza caratteristica a flessione attorno l'asse y-y. [daN·cm]*
***χ,x**: coefficiente di riduzione per inflessione attorno l'asse x-x.*
***χ,y**: coefficiente di riduzione per inflessione attorno l'asse y-y.*
***kxx**: valore di kxx.*
***kxy**: valore di kxy.*
***kyx**: valore di kyx.*
***kyy**: valore di kyy.*
***χ,LT**: coefficiente di riduzione per instabilità flesso-torsionale.*
***η**: valore di η.*
***hw**: altezza dell'anima. [cm]*
***tw**: spessore dell'anima. [cm]*
***hw/tw max**: rapporto tra hw e tw massimo.*
***Sfruttamento torsione**: rapporto tra TEd e TRd.*
***TEd**: sollecitazione torcente. [daN·cm]*
***TRd**: resistenza a torsione. [daN·cm]*
***Riduzione taglio resistente**: indica se è possibile ridurre il taglio resistente per presenza di torsione.*
***Sfruttamento taglio-torsione**: τEd,totale / (0.5 * τRd). Non verificato se maggiore di 1.*
***τEd,totale**: somma delle tensioni tangenziali totale derivanti da taglio e torsione. [daN/cm²]*
***τRd**: tensione tangenziale resistente. [daN/cm²]*

Superelemento in acciaio "Fondazione"-"Piano 1" (484; 740)

Caratteristiche del materiale

Acciaio: S235_1, fyk = 2350

Caratteristiche geometriche

Lunghezza: 598
Nodo iniziale: 124 Nodo finale: 338
Cerniera iniziale: No Cerniera finale: No
Sovraresistenza: 0% Sisma Z: No

Caratteristiche della sezione

Sezione	Rotazione	Area	Jx	Jy	ix	iy	Wx	Wy	Wplx	Wply
HEA240_1	0	76.92	7771.3	2768.96	10.05	6	675.77	230.75	745.47	351.79

Verifiche di resistenza

Verifiche a forza assiale §4.2.4.1.2.1 - §4.2.4.1.2.2 NTC18

X	Comb.	Sfruttamento	Classe	NEd	Nc,Rd	Nt,Rd	Riduzione da taglio	ρx	ρy	Verifica
0	SLU 8	0.11	1	-18887.4	172164.2		1	0	0	Si

Verifiche a forza assiale SLD §4.2.4.1.2.1 - §4.2.4.1.2.2 NTC18

X	Comb.	Sfruttamento	Classe	NEd	Nc,Rd	Nt,Rd	Riduzione da taglio	ρx	ρy	Verifica

0	SLD 4	0.08	1	-13759.4	172164.2		1	0	0	Si

Verifica a taglio X §4.2.4.1.2.4 NTC18

X	Comb.	Sfruttamento	VEd	Vc,Rd	Av	Interazione taglio-torsione	Riduzione torsione	Verifica
598	SLV 13	0.016	1289.7	79435.1	61.47	Considerata	1	Si

Verifica a taglio X SLD §4.2.4.1.2.4 NTC18

X	Comb.	Sfruttamento	VEd	Vc,Rd	Av	Interazione taglio-torsione	Riduzione torsione	Verifica
0	SLD 13	0.007	583	79435.1	61.47	Considerata	1	Si

Verifica a taglio Y §4.2.4.1.2.4 NTC18

X	Comb.	Sfruttamento	VEd	Vc,Rd	Av	Interazione taglio-torsione	Riduzione torsione	Verifica
598	SLV 6	0.044	-1441.2	32645.8	25.26	Considerata	1	Si

Verifica a taglio Y SLD §4.2.4.1.2.4 NTC18

X	Comb.	Sfruttamento	VEd	Vc,Rd	Av	Interazione taglio-torsione	Riduzione torsione	Verifica
598	SLD 6	0.018	-588.3	32645.8	25.26	Considerata	1	Si

Verifica a presso/tenso flessione retta X SLD §§ 4.2.4.1.2.3 - 4.2.4.1.2.6 - 4.2.4.1.2.7 - 4.2.4.1.2.8 NTC18

Verifiche eseguite utilizzando la formula conservativa (6.2) §6.2.1 EN 1993-1-1:2005.

X	Comb.	Sfruttamento	Classe	NEd	NRd	Rid. NRd da VEd	Mx,Ed	Mx,Rd	Rid. Mx,Rd da VEd	Rid. Mx,Rd da NEd	ρx	ρy	Verifica
578.1	SLD 7	0.132	1	-12798.2	172164.2	1	96300	1668434	1		0	0	Si

Verifica a presso/tenso flessione retta Y §§ 4.2.4.1.2.3 - 4.2.4.1.2.6 - 4.2.4.1.2.7 - 4.2.4.1.2.8 NTC18

Verifiche eseguite utilizzando la formula conservativa (6.2) §6.2.1 EN 1993-1-1:2005.

X	Comb.	Sfruttamento	Classe	NEd	NRd	Rid. NRd da VEd	My,Ed	My,Rd	Rid. My,Rd da VEd	Rid. My,Rd da NEd	ρx	ρy	Verifica
598	SLU 8	0.183	1	-18418	172164.2	1	-59629	787347	1		0	0	Si

Verifica a presso/tenso flessione retta Y SLD §§ 4.2.4.1.2.3 - 4.2.4.1.2.6 - 4.2.4.1.2.7 - 4.2.4.1.2.8 NTC18

Verifiche eseguite utilizzando la formula conservativa (6.2) §6.2.1 EN 1993-1-1:2005.

X	Comb.	Sfruttamento	Classe	NEd	NRd	Rid. NRd da VEd	My,Ed	My,Rd	Rid. My,Rd da VEd	Rid. My,Rd da NEd	ρx	ρy	Verifica
418.6	SLD 15	0.164	1	-11841.8	172164.2	1	-74944	787347	1		0	0	Si

Verifica a presso/tenso flessione deviata §§ 4.2.4.1.2.3 - 4.2.4.1.2.6 - 4.2.4.1.2.7 - 4.2.4.1.2.8 NTC18

Verifiche eseguite utilizzando la formula conservativa (6.2) §6.2.1 EN 1993-1-1:2005.

X	Comb.	Sfruttamento	Classe	NEd	NRd	Rid. NRd da VEd	Mx,Ed	Mx,Rd	My,Ed	My,Rd	Rid. Mx,Rd da VEd	Rid. Mx,Rd da NEd	Rid. My,Rd da VEd	Rid. My,Rd da NEd	α	β	ρx	ρy	Verifica
0	SLV 15	0.671	1	-10890.8	172164.2	1	-193751	1668434	386923	787347	1		1				0	0	Si

Verifica a presso/tenso flessione deviata SLD §§ 4.2.4.1.2.3 - 4.2.4.1.2.6 - 4.2.4.1.2.7 - 4.2.4.1.2.8 NTC18

Verifiche eseguite utilizzando la formula conservativa (6.2) §6.2.1 EN 1993-1-1:2005.

X	Comb.	Sfruttamento	Classe	NEd	NRd	Rid. NRd da VEd	Mx,Ed	Mx,Rd	My,Ed	My,Rd	Rid. Mx,Rd da VEd	Rid. Mx,Rd da NEd	Rid. My,Rd da VEd	Rid. My,Rd da NEd	α	β	ρx	ρy	Verifica
0	SLD 15	0.332	1	-12094.6	172164.2	1	-79054	1668434	169085	787347	1		1				0	0	Si

Verifiche ad instabilità

Caratteristiche iniziali

Membratura principale per controllo snellezza; Calcolo di snellezze ed N critici condotti secondo gli assi principali;
Curva X: b; Curva Y: c; Svergolamento: Carico all'estradosso; Curva svergolamento: b;

Dati per instabilità attorno a x

Controllo della snellezza secondo §4.2.4.1.3.1 NTC18

Numero rit.	Presente	Ascissa	Campata	βx/m	Vincolo a entrambi estremi	λx/m	λVer
1	Si	0					
			1-2	1	Si	59.5	Si, (<200)
2	Si	598					

Dati per instabilità attorno a y

Controllo della snellezza secondo §4.2.4.1.3.1 NTC18

Numero rit.	Presente	Ascissa	Campata	βy/n	k,LT	kw,LT	Vincolo a entrambi estremi	λy/n	λVer
1	Si	0							
			1-2	1	1	1	Si	99.7	Si, (<200)
2	Si	598							

Verifica di stabilità per pressoflessione §C.4.2.4.1.3.3.2 NTC18

X	Comb.	Sfruttamento	Classe	NEd	NRk	Mx,Ed max	Mx,Rk	My,Ed max	My,Rk	χ,x	χ,y	kxx	kxy	kyx	kyy	χ,LT	Verifica
0	SLV 11	0.659	1	-12303.3	180772.4	596986.5	1751855.8	143408	826714.8	0.82	0.505	0.439	0.288	0.918	0.479	0.763	Si

Verifica di stabilità per pressoflessione SLD §C.4.2.4.1.3.3.2 NTC18

X	Comb.	Sfruttamento	Classe	NEd	NRk	Mx,Ed max	Mx,Rk	My,Ed max	My,Rk	χ,x	χ,y	kxx	kxy	kyx	kyy	χ,LT	Verifica
0	SLD 11	0.371	1	-12672	180772.4	243620.7	1751855.8	81124.1	826714.8	0.82	0.505	0.439	0.289	0.916	0.482	0.763	Si

Verifica di stabilità a taglio anima Y §4.2.4.1.2.4 [4.2.27] NTC18

η	hw	tw	hw/tw max	Verifica
1.2	20.6	0.8	60	Si

Verifica di stabilità a taglio anima Y SLD §4.2.4.1.2.4 [4.2.27] NTC18

η	hw	tw	hw/tw max	Verifica
1.2	20.6	0.8	60	Si

Verifiche a deformabilità

Mensola X: No; Mensola Y: No.
Verifiche non eseguite in quanto il superelemento è verticale.

Superelemento in acciaio "Fondazione"-"Piano 1" (484; 1110)

Caratteristiche del materiale

Acciaio: S235_1, fyk = 2350

Caratteristiche geometriche

Lunghezza: 598
Nodo iniziale: 167 Nodo finale: 342
Cerniera iniziale: No Cerniera finale: No
Sovraresistenza: 0% Sisma Z: No

Caratteristiche della sezione

Sezione	Rotazione	Area	Jx	Jy	ix	iy	Wx	Wy	Wplx	Wply
HEA240 1	0	76.92	7771.3	2768.96	10.05	6	675.77	230.75	745.47	351.79

Verifiche di resistenza

Verifiche a forza assiale §4.2.4.1.2.1 - §4.2.4.1.2.2 NTC18

X	Comb.	Sfruttamento	Classe	NEd	Nc,Rd	Nt,Rd	Riduzione da taglio	ρx	ρy	Verifica
0	SLU 6	0.122	1	-21087.7	172164.2		1	0	0	Si

Verifiche a forza assiale SLD §4.2.4.1.2.1 - §4.2.4.1.2.2 NTC18

X	Comb.	Sfruttamento	Classe	NEd	Nc,Rd	Nt,Rd	Riduzione da taglio	ρx	ρy	Verifica
0	SLD 2	0.088	1	-15155.9	172164.2		1	0	0	Si

Verifica a taglio X §4.2.4.1.2.4 NTC18

X	Comb.	Sfruttamento	VEd	Vc,Rd	Av	Interazione taglio-torsione	Riduzione torsione	Verifica
299	SLV 13	0.016	1265.2	79435.1	61.47	Considerata	1	Si

Verifica a taglio X SLD §4.2.4.1.2.4 NTC18

X	Comb.	Sfruttamento	VEd	Vc,Rd	Av	Interazione taglio-torsione	Riduzione torsione	Verifica
0	SLD 13	0.007	582	79435.1	61.47	Considerata	1	Si

Verifica a taglio Y §4.2.4.1.2.4 NTC18

X	Comb.	Sfruttamento	VEd	Vc,Rd	Av	Interazione taglio-torsione	Riduzione torsione	Verifica
338.9	SLV 11	0.044	1441	32645.8	25.26	Considerata	1	Si

Verifica a taglio Y SLD §4.2.4.1.2.4 NTC18

X	Comb.	Sfruttamento	VEd	Vc,Rd	Av	Interazione taglio-torsione	Riduzione torsione	Verifica
338.9	SLD 11	0.018	588.1	32645.8	25.26	Considerata	1	Si

Verifica a presso/tenso flessione retta X §§ 4.2.4.1.2.3 - 4.2.4.1.2.6 - 4.2.4.1.2.7 - 4.2.4.1.2.8 NTC18

Verifiche eseguite utilizzando la formula conservativa (6.2) §6.2.1 EN 1993-1-1:2005.

X	Comb.	Sfruttamento	Classe	NEd	NRd	Rid. NRd da VEd	Mx,Ed	Mx,Rd	Rid. Mx,Rd da VEd	Rid. Mx,Rd da NEd	ρx	ρy	Verifica
358.8	SLV 6	0.134	1	-14728.4	172164.2	1	80144	1668434	1		0	0	Si

Verifica a presso/tenso flessione retta X SLD §§ 4.2.4.1.2.3 - 4.2.4.1.2.6 - 4.2.4.1.2.7 - 4.2.4.1.2.8 NTC18

Verifiche eseguite utilizzando la formula conservativa (6.2) §6.2.1 EN 1993-1-1:2005.

X	Comb.	Sfruttamento	Classe	NEd	NRd	Rid. NRd da VEd	Mx,Ed	Mx,Rd	Rid. Mx,Rd da VEd	Rid. Mx,Rd da NEd	ρx	ρy	Verifica
259.1	SLD 10	0.136	1	-13969.7	172164.2	1	91271	1668434	1		0	0	Si

Verifica a presso/tenso flessione retta Y §§ 4.2.4.1.2.3 - 4.2.4.1.2.6 - 4.2.4.1.2.7 - 4.2.4.1.2.8 NTC18

Verifiche eseguite utilizzando la formula conservativa (6.2) §6.2.1 EN 1993-1-1:2005.

X	Comb.	Sfruttamento	Classe	NEd	NRd	Rid. NRd da VEd	My,Ed	My,Rd	Rid. My,Rd da VEd	Rid. My,Rd da NEd	ρx	ρy	Verifica
598	SLU 8	0.208	1	-20618.2	172164.2	1	-69173	787347	1		0	0	Si

Verifica a presso/tenso flessione retta Y SLD §§ 4.2.4.1.2.3 - 4.2.4.1.2.6 - 4.2.4.1.2.7 - 4.2.4.1.2.8 NTC18

Verifiche eseguite utilizzando la formula conservativa (6.2) §6.2.1 EN 1993-1-1:2005.

X	Comb.	Sfruttamento	Classe	NEd	NRd	Rid. NRd da VEd	My,Ed	My,Rd	Rid. My,Rd da VEd	Rid. My,Rd da NEd	ρx	ρy	Verifica
418.6	SLD 14	0.175	1	-13319	172164.2	1	-76616	787347	1		0	0	Si

Verifica a presso/tenso flessione deviata §§ 4.2.4.1.2.3 - 4.2.4.1.2.6 - 4.2.4.1.2.7 - 4.2.4.1.2.8 NTC18

Verifiche eseguite utilizzando la formula conservativa (6.2) §6.2.1 EN 1993-1-1:2005.

X	Comb.	Sfruttamento	Classe	NEd	NRd	Rid. NRd da VEd	Mx,Ed	Mx,Rd	My,Ed	My,Rd	Rid. Mx,Rd da VEd	Rid. Mx,Rd da NEd	Rid. My,Rd da VEd	Rid. My,Rd da NEd	α	β	ρx	ρy	Verifica
0	SLV 15	0.668	1	-12426.3	172164.2	1	-193784	1668434	377510	787347	1		1				0	0	Si

Verifica a presso/tenso flessione deviata SLD §§ 4.2.4.1.2.3 - 4.2.4.1.2.6 - 4.2.4.1.2.7 - 4.2.4.1.2.8 NTC18

Verifiche eseguite utilizzando la formula conservativa (6.2) §6.2.1 EN 1993-1-1:2005.

X	Comb.	Sfruttamento	Classe	NEd	NRd	Rid. NRd da VEd	Mx,Ed	Mx,Rd	My,Ed	My,Rd	Rid. Mx,Rd da VEd	Rid. Mx,Rd da NEd	Rid. My,Rd da VEd	Rid. My,Rd da NEd	α	β	ρx	ρy	Verifica
0	SLD 15	0.338	1	-13571.8	172164.2	1	-79086	1668434	167031	787347	1		1				0	0	Si

Verifiche ad instabilità

Caratteristiche iniziali

Membratura principale per controllo snellezza; Calcolo di snellezze ed N critici condotti secondo gli assi principali;
Curva X: b; Curva Y: c; Svergolamento: Carico all'estradosso; Curva svergolamento: b;

Dati per instabilità attorno a x

Controllo della snellezza secondo §4.2.4.1.3.1 NTC18

Numero rit.	Presente	Ascissa	Campata	βx/m	Vincolo a entrambi estremi	λx/m	λVer
1	Si	0					
			1-2	1	Si	59.5	Si, (<200)
2	Si	598					

Dati per instabilità attorno a y

Controllo della snellezza secondo §4.2.4.1.3.1 NTC18

Numero rit.	Presente	Ascissa	Campata	βy/n	k,LT	kw,LT	Vincolo a entrambi estremi	λy/n	λVer
1	Si	0							
			1-2	1	1	1	Si	99.7	Si, (<200)
2	Si	598							

Verifica di stabilità per pressoflessione §C.4.2.4.1.3.3.2 NTC18

X	Comb.	Sfruttamento	Classe	NEd	NRk	Mx,Ed max	Mx,Rk	My,Ed max	My,Rk	χ,x	χ,y	kxx	kxy	kyx	kyy	χ,LT	Verifica
0	SLV 10	0.674	1	-13782.6	180772.4	597020.5	1751855.8	144665.6	826714.8	0.82	0.505	0.441	0.293	0.908	0.489	0.763	Si

Verifica di stabilità per pressoflessione SLD §C.4.2.4.1.3.3.2 NTC18

X	Comb.	Sfruttamento	Classe	NEd	NRk	Mx,Ed max	Mx,Rk	My,Ed max	My,Rk	χ,x	χ,y	kxx	kxy	kyx	kyy	χ,LT	Verifica
0	SLD 10	0.389	1	-14126.2	180772.4	243653.3	1751855.8	85225.8	826714.8	0.82	0.505	0.441	0.295	0.906	0.491	0.763	Si

Verifica di stabilità a taglio anima Y §4.2.4.1.2.4 [4.2.27] NTC18

η	hw	tw	hw/tw max	Verifica
1.2	20.6	0.8	60	Si

Verifica di stabilità a taglio anima Y SLD §4.2.4.1.2.4 [4.2.27] NTC18

η	hw	tw	hw/tw max	Verifica
1.2	20.6	0.8	60	Si

Verifiche a deformabilità

Mensola X: No; Mensola Y: No.
Verifiche non eseguite in quanto il superelemento è verticale.

Superelemento in acciaio "Fondazione"-"Piano 1" (484; 1480)

Caratteristiche del materiale

Acciaio: S235_1, fyk = 2350

Caratteristiche geometriche

Lunghezza: 598
Nodo iniziale: 215 Nodo finale: 346

Cerniera iniziale: No Cerniera finale: No
Sovraresistenza: 0% Sisma Z: No

Caratteristiche della sezione

Sezione	Rotazione	Area	Jx	Jy	ix	iy	Wx	Wy	Wplx	Wply
HEA240_1	0	76.92	7771.3	2768.96	10.05	6	675.77	230.75	745.47	351.79

Verifiche di resistenza

Verifiche a forza assiale §4.2.4.1.2.1 - §4.2.4.1.2.2 NTC18

X	Comb.	Sfruttamento	Classe	NEd	Nc,Rd	Nt,Rd	Riduzione da taglio	ρx	ρy	Verifica
0	SLU 6	0.11	1	-18885	172164.2		1	0	0	Si

Verifiche a forza assiale SLD §4.2.4.1.2.1 - §4.2.4.1.2.2 NTC18

X	Comb.	Sfruttamento	Classe	NEd	Nc,Rd	Nt,Rd	Riduzione da taglio	ρx	ρy	Verifica
0	SLD 1	0.08	1	-13757.9	172164.2		1	0	0	Si

Verifica a taglio X §4.2.4.1.2.4 NTC18

X	Comb.	Sfruttamento	VEd	Vc,Rd	Av	Interazione taglio-torsione	Riduzione torsione	Verifica
598	SLV 16	0.016	1289.5	79435.1	61.47	Considerata	1	Si

Verifica a taglio X SLD §4.2.4.1.2.4 NTC18

X	Comb.	Sfruttamento	VEd	Vc,Rd	Av	Interazione taglio-torsione	Riduzione torsione	Verifica
598	SLD 16	0.007	582.8	79435.1	61.47	Considerata	1	Si

Verifica a taglio Y §4.2.4.1.2.4 NTC18

X	Comb.	Sfruttamento	VEd	Vc,Rd	Av	Interazione taglio-torsione	Riduzione torsione	Verifica
338.9	SLV 11	0.044	1441.2	32645.8	25.26	Considerata	1	Si

Verifica a taglio Y SLD §4.2.4.1.2.4 NTC18

X	Comb.	Sfruttamento	VEd	Vc,Rd	Av	Interazione taglio-torsione	Riduzione torsione	Verifica
338.9	SLD 11	0.018	588.3	32645.8	25.26	Considerata	1	Si

Verifica a presso/tenso flessione retta X SLD §§ 4.2.4.1.2.3 - 4.2.4.1.2.6 - 4.2.4.1.2.7 - 4.2.4.1.2.8 NTC18

Verifiche eseguite utilizzando la formula conservativa (6.2) §6.2.1 EN 1993-1-1:2005.

X	Comb.	Sfruttamento	Classe	NEd	NRd	Rid. NRd da VEd	Mx,Ed	Mx,Rd	Rid. Mx,Rd da VEd	Rid. Mx,Rd da NEd	ρx	ρy	Verifica
578.1	SLD 8	0.13	1	-12795.7	172164.2	1	93463	1668434	1		0	0	Si

Verifica a presso/tenso flessione retta Y §§ 4.2.4.1.2.3 - 4.2.4.1.2.6 - 4.2.4.1.2.7 - 4.2.4.1.2.8 NTC18

Verifiche eseguite utilizzando la formula conservativa (6.2) §6.2.1 EN 1993-1-1:2005.

X	Comb.	Sfruttamento	Classe	NEd	NRd	Rid. NRd da VEd	My,Ed	My,Rd	Rid. My,Rd da VEd	Rid. My,Rd da NEd	ρx	ρy	Verifica
598	SLU 8	0.183	1	-18415.6	172164.2	1	-59496	787347	1		0	0	Si

Verifica a presso/tenso flessione retta Y SLD §§ 4.2.4.1.2.3 - 4.2.4.1.2.6 - 4.2.4.1.2.7 - 4.2.4.1.2.8 NTC18

Verifiche eseguite utilizzando la formula conservativa (6.2) §6.2.1 EN 1993-1-1:2005.

X	Comb.	Sfruttamento	Classe	NEd	NRd	Rid. NRd da VEd	My,Ed	My,Rd	Rid. My,Rd da VEd	Rid. My,Rd da NEd	ρx	ρy	Verifica
418.6	SLD 14	0.164	1	-11840.3	172164.2	1	-74898	787347	1		0	0	Si

Verifica a presso/tenso flessione deviata §§ 4.2.4.1.2.3 - 4.2.4.1.2.6 - 4.2.4.1.2.7 - 4.2.4.1.2.8 NTC18

Verifiche eseguite utilizzando la formula conservativa (6.2) §6.2.1 EN 1993-1-1:2005.

X	Comb.	Sfruttamento	Classe	NEd	NRd	Rid. NRd da VEd	Mx,Ed	Mx,Rd	My,Ed	My,Rd	Rid. Mx,Rd da VEd	Rid. Mx,Rd da NEd	Rid. My,Rd da VEd	Rid. My,Rd da NEd	α	β	ρx	ρy	Verifica
0	SLV 14	0.671	1	-10889.3	172164.2	1	193754	1668434	386882	787347	1		1				0	0	Si

Verifica a presso/tenso flessione deviata SLD §§ 4.2.4.1.2.3 - 4.2.4.1.2.6 - 4.2.4.1.2.7 - 4.2.4.1.2.8 NTC18

Verifiche eseguite utilizzando la formula conservativa (6.2) §6.2.1 EN 1993-1-1:2005.

X	Comb.	Sfruttamento	Classe	NEd	NRd	Rid. NRd da VEd	Mx,Ed	Mx,Rd	My,Ed	My,Rd	Rid. Mx,Rd da VEd	Rid. Mx,Rd da NEd	Rid. My,Rd da VEd	Rid. My,Rd da NEd	α	β	ρx	ρy	Verifica
0	SLD 14	0.332	1	-12093	172164.2	1	79055	1668434	169043	787347	1		1				0	0	Si

Verifiche ad instabilità

Caratteristiche iniziali

Membratura principale per controllo snellezza; Calcolo di snellezze ed N critici condotti secondo gli assi principali;
Curva X: b; Curva Y: c; Svergolamento: Carico all'estradosso; Curva svergolamento: b;

Dati per instabilità attorno a x

Controllo della snellezza secondo §4.2.4.1.3.1 NTC18

Numero rit.	Presente	Ascissa	Campata	βx/m	Vincolo a entrambi estremi	λx/m	λVer
1	Si	0					
			1-2	1	Si	59.5	Si, (<200)
2	Si	598					

Dati per instabilità attorno a y

Controllo della snellezza secondo §4.2.4.1.3.1 NTC18

Numero rit.	Presente	Ascissa	Campata	βy/n	k,LT	kw,LT	Vincolo a entrambi estremi	λy/n	λVer
1	Si	0							
			1-2	1	1	1	Si	99.7	Si, (<200)
2	Si	598							

Verifica di stabilità per pressoflessione §C.4.2.4.1.3.3.2 NTC18

X	Comb.	Sfruttamento	Classe	NEd	NRk	Mx,Ed max	Mx,Rk	My,Ed max	My,Rk	χ,x	χ,y	kxx	kxy	kyx	kyy	χ,LT	Verifica
0	SLV 10	0.659	1	-12301.8	180772.4	596999.5	1751855.8	143324.2	826714.8	0.82	0.505	0.439	0.288	0.918	0.479	0.763	Si

Verifica di stabilità per pressoflessione SLD §C.4.2.4.1.3.3.2 NTC18

X	Comb.	Sfruttamento	Classe	NEd	NRk	Mx,Ed max	Mx,Rk	My,Ed max	My,Rk	χ,x	χ,y	kxx	kxy	kyx	kyy	χ,LT	Verifica
0	SLD 10	0.37	1	-12670.4	180772.4	243625.8	1751855.8	81040.3	826714.8	0.82	0.505	0.439	0.289	0.916	0.482	0.763	Si

Verifica di stabilità a taglio anima Y §4.2.4.1.2.4 [4.2.27] NTC18

η	hw	tw	hw/tw max	Verifica
1.2	20.6	0.8	60	Si

Verifica di stabilità a taglio anima Y SLD §4.2.4.1.2.4 [4.2.27] NTC18

η	hw	tw	hw/tw max	Verifica
1.2	20.6	0.8	60	Si

Verifiche a deformabilità

Mensola X: No; Mensola Y: No.
Verifiche non eseguite in quanto il superelemento è verticale.

Superelemento in acciaio "Piano 1"-"Piano 2" (484; 740)

Caratteristiche del materiale

Acciaio: S235_1, fyk = 2350

Caratteristiche geometriche

Lunghezza: 590
Nodo iniziale: 338 Nodo finale: 368
Cerniera iniziale: No Cerniera finale: No
Sovraresistenza: 0% Sisma Z: No

Caratteristiche della sezione

Sezione	Rotazione	Area	Jx	Jy	ix	iy	Wx	Wy	Wplx	Wply
HEA240 1	0	76.92	7771.3	2768.96	10.05	6	675.77	230.75	745.47	351.79

Verifiche di resistenza

Verifiche a forza assiale §4.2.4.1.2.1 - §4.2.4.1.2.2 NTC18

X	Comb.	Sfruttamento	Classe	NEd	Nc,Rd	Nt,Rd	Riduzione da taglio	ρx	ρy	Verifica
0	SLU 8	0.077	1	-13276.7	172164.2		1	0	0	Si

Verifiche a forza assiale SLD §4.2.4.1.2.1 - §4.2.4.1.2.2 NTC18

X	Comb.	Sfruttamento	Classe	NEd	Nc,Rd	Nt,Rd	Riduzione da taglio	ρx	ρy	Verifica
0	SLD 4	0.061	1	-10430.8	172164.2		1	0	0	Si

Verifica a taglio X §4.2.4.1.2.4 NTC18

X	Comb.	Sfruttamento	VEd	Vc,Rd	Av	Interazione taglio-torsione	Riduzione torsione	Verifica
590	SLV 3	0.009	687.6	79435.1	61.47	Considerata	1	Si

Verifica a taglio X SLD §4.2.4.1.2.4 NTC18

X	Comb.	Sfruttamento	VEd	Vc,Rd	Av	Interazione taglio-torsione	Riduzione torsione	Verifica
570.3	SLD 3	0.005	383.7	79435.1	61.47	Considerata	1	Si

Verifica a taglio Y §4.2.4.1.2.4 NTC18

X	Comb.	Sfruttamento	VEd	Vc,Rd	Av	Interazione taglio-torsione	Riduzione torsione	Verifica
590	SLV 9	0.008	-248.4	32645.8	25.26	Considerata	1	Si

Verifica a taglio Y SLD §4.2.4.1.2.4 NTC18

X	Comb.	Sfruttamento	VEd	Vc,Rd	Av	Interazione taglio-torsione	Riduzione torsione	Verifica
590	SLD 9	0.003	-101.8	32645.8	25.26	Considerata	1	Si

Verifica a presso/tenso flessione retta X SLD §§ 4.2.4.1.2.3 - 4.2.4.1.2.6 - 4.2.4.1.2.7 - 4.2.4.1.2.8 NTC18

Verifiche eseguite utilizzando la formula conservativa (6.2) §6.2.1 EN 1993-1-1:2005.

X	Comb.	Sfruttamento	Classe	NEd	NRd	Rid. NRd da VEd	Mx,Ed	Mx,Rd	Rid. Mx,Rd da VEd	Rid. Mx,Rd da NEd	ρx	ρy	Verifica
334.3	SLD 6	0.139	1	-9441.4	172164.2	1	-139966	1668434	1		0	0	Si

Verifica a presso/tenso flessione retta Y §§ 4.2.4.1.2.3 - 4.2.4.1.2.6 - 4.2.4.1.2.7 - 4.2.4.1.2.8 NTC18

Verifiche eseguite utilizzando la formula conservativa (6.2) §6.2.1 EN 1993-1-1:2005.

X	Comb.	Sfruttamento	Classe	NEd	NRd	Rid. NRd da VEd	My,Ed	My,Rd	Rid. My,Rd da VEd	Rid. My,Rd da NEd	ρx	ρy	Verifica
0	SLU 6	0.181	1	-13276.7	172164.2	1	82023	787347	1		0	0	Si

Verifica a presso/tenso flessione deviata §§ 4.2.4.1.2.3 - 4.2.4.1.2.6 - 4.2.4.1.2.7 - 4.2.4.1.2.8 NTC18

Verifiche eseguite utilizzando la formula conservativa (6.2) §6.2.1 EN 1993-1-1:2005.

X	Comb.	Sfruttamento	Classe	NEd	NRd	Rid. NRd da VEd	Mx,Ed	Mx,Rd	My,Ed	My,Rd	Rid. Mx,Rd da VEd	Rid. Mx,Rd da NEd	Rid. My,Rd da VEd	Rid. My,Rd da NEd	α	β	ρx	ρy	Verifica
0	SLV 2	0.423	1	-12069.6	172164.2	1	-86568	1668434	237005	787347	1		1				0	0	Si

Verifica a presso/tenso flessione deviata SLD §§ 4.2.4.1.2.3 - 4.2.4.1.2.6 - 4.2.4.1.2.7 - 4.2.4.1.2.8 NTC18

Verifiche eseguite utilizzando la formula conservativa (6.2) §6.2.1 EN 1993-1-1:2005.

X	Comb.	Sfruttamento	Classe	NEd	NRd	Rid. NRd da VEd	Mx,Ed	Mx,Rd	My,Ed	My,Rd	Rid. Mx,Rd da VEd	Rid. Mx,Rd da NEd	Rid. My,Rd da VEd	Rid. My,Rd da NEd	α	β	ρx	ρy	Verifica
0	SLD 2	0.245	1	-10430.3	172164.2	1	-35288	1668434	128696	787347	1		1				0	0	Si

Verifiche ad instabilità

Caratteristiche iniziali

Membratura principale per controllo snellezza; Calcolo di snellezze ed N critici condotti secondo gli assi principali;
Curva X: b; Curva Y: c; Svergolamento: Carico all'estradosso; Curva svergolamento: b;

Dati per instabilità attorno a x

Controllo della snellezza secondo §4.2.4.1.3.1 NTC18

Numero rit.	Presente	Ascissa	Campata	βx/m	Vincolo a entrambi estremi	λx/m	λVer
1	Si	0					
			1-2	1	Si	58.7	Si, (<200)
2	Si	590					

Dati per instabilità attorno a y

Controllo della snellezza secondo §4.2.4.1.3.1 NTC18

Numero rit.	Presente	Ascissa	Campata	βy/n	k,LT	kw,LT	Vincolo a entrambi estremi	λy/n	λVer
1	Si	0							
			1-2	1	1	1	Si	98.3	Si, (<200)
2	Si	590							

Verifica di stabilità per pressoflessione §C.4.2.4.1.3.3.2 NTC18

X	Comb.	Sfruttamento	Classe	NEd	NRk	Mx,Ed max	Mx,Rk	My,Ed max	My,Rk	χ,x	χ,y	kxx	kxy	kyx	kyy	χ,LT	Verifica
0	SLV 6	0.458	1	-10145.5	180772.4	404991.6	1751855.8	107608.3	826714.8	0.824	0.513	0.885	0.279	0.981	0.464	0.85	Si

Verifica di stabilità per pressoflessione SLD §C.4.2.4.1.3.3.2 NTC18

X	Comb.	Sfruttamento	Classe	NEd	NRk	Mx,Ed max	Mx,Rk	My,Ed max	My,Rk	χ,x	χ,y	kxx	kxy	kyx	kyy	χ,LT	Verifica
0	SLD 6	0.268	1	-9643.3	180772.4	165326.9	1751855.8	75087	826714.8	0.824	0.513	0.884	0.277	0.982	0.461	0.85	Si

Verifica di stabilità a taglio anima Y §4.2.4.1.2.4 [4.2.27] NTC18

η	hw	tw	hw/tw max	Verifica
1.2	20.6	0.8	60	Si

Verifica di stabilità a taglio anima Y SLD §4.2.4.1.2.4 [4.2.27] NTC18

η	hw	tw	hw/tw max	Verifica
1.2	20.6	0.8	60	Si

Verifiche a deformabilità

Mensola X: No; Mensola Y: No.
Verifiche non eseguite in quanto il superelemento è verticale.

Superelemento in acciaio "Piano 1"-"Piano 2" (484; 1110)

Caratteristiche del materiale

Acciaio: S235_1, fyk = 2350

Caratteristiche geometriche

Lunghezza: 590
Nodo iniziale: 342 Nodo finale: 372
Cerniera iniziale: No Cerniera finale: No
Sovraresistenza: 0% Sisma Z: No

Caratteristiche della sezione

Sezione	Rotazione	Area	Jx	Jy	ix	iy	Wx	Wy	Wplx	Wply
HEA240_1	0	76.92	7771.3	2768.96	10.05	6	675.77	230.75	745.47	351.79

Verifiche di resistenza

Verifiche a forza assiale §4.2.4.1.2.1 - §4.2.4.1.2.2 NTC18

X	Comb.	Sfruttamento	Classe	NEd	Nc,Rd	Nt,Rd	Riduzione da taglio	ρx	ρy	Verifica
0	SLU 8	0.085	1	-14639.4	172164.2		1	0	0	Si

Verifiche a forza assiale SLD §4.2.4.1.2.1 - §4.2.4.1.2.2 NTC18

X	Comb.	Sfruttamento	Classe	NEd	Nc,Rd	Nt,Rd	Riduzione da taglio	ρx	ρy	Verifica
0	SLD 2	0.066	1	-11279.7	172164.2		1	0	0	Si

Verifica a taglio X §4.2.4.1.2.4 NTC18

X	Comb.	Sfruttamento	VEd	Vc,Rd	Av	Interazione taglio-torsione	Riduzione torsione	Verifica
550.7	SLV 4	0.009	711.7	79435.1	61.47	Considerata	1	Si

Verifica a taglio X SLD §4.2.4.1.2.4 NTC18

X	Comb.	Sfruttamento	VEd	Vc,Rd	Av	Interazione taglio-torsione	Riduzione torsione	Verifica
0	SLD 4	0.005	408.7	79435.1	61.47	Considerata	1	Si

Verifica a taglio Y §4.2.4.1.2.4 NTC18

X	Comb.	Sfruttamento	VEd	Vc,Rd	Av	Interazione taglio-torsione	Riduzione torsione	Verifica
590	SLV 9	0.008	-248.1	32645.8	25.26	Considerata	1	Si

Verifica a taglio Y SLD §4.2.4.1.2.4 NTC18

X	Comb.	Sfruttamento	VEd	Vc,Rd	Av	Interazione taglio-torsione	Riduzione torsione	Verifica
590	SLD 9	0.003	-101.6	32645.8	25.26	Considerata	1	Si

Verifica a presso/tenso flessione retta X §§ 4.2.4.1.2.3 - 4.2.4.1.2.6 - 4.2.4.1.2.7 - 4.2.4.1.2.8 NTC18

Verifiche eseguite utilizzando la formula conservativa (6.2) §6.2.1 EN 1993-1-1:2005.

X	Comb.	Sfruttamento	Classe	NEd	NRd	Rid. NRd da VEd	Mx,Ed	Mx,Rd	Rid. Mx,Rd da VEd	Rid. Mx,Rd da NEd	ρx	ρy	Verifica
137.7	SLV 11	0.231	1	-9327.9	172164.2	1	295531	1668434	1		0	0	Si

Verifica a presso/tenso flessione retta X SLD §§ 4.2.4.1.2.3 - 4.2.4.1.2.6 - 4.2.4.1.2.7 - 4.2.4.1.2.8 NTC18

Verifiche eseguite utilizzando la formula conservativa (6.2) §6.2.1 EN 1993-1-1:2005.

X	Comb.	Sfruttamento	Classe	NEd	NRd	Rid. NRd da VEd	Mx,Ed	Mx,Rd	Rid. Mx,Rd da VEd	Rid. Mx,Rd da NEd	ρx	ρy	Verifica
531	SLD 2	0.094	1	-10959	172164.2	1	-50440	1668434	1		0	0	Si

Verifica a presso/tenso flessione retta Y §§ 4.2.4.1.2.3 - 4.2.4.1.2.6 - 4.2.4.1.2.7 - 4.2.4.1.2.8 NTC18

Verifiche eseguite utilizzando la formula conservativa (6.2) §6.2.1 EN 1993-1-1:2005.

X	Comb.	Sfruttamento	Classe	NEd	NRd	Rid. NRd da VEd	My,Ed	My,Rd	Rid. My,Rd da VEd	Rid. My,Rd da NEd	ρx	ρy	Verifica
0	SLU 6	0.206	1	-14639.4	172164.2	1	94855	787347	1		0	0	Si

Verifica a presso/tenso flessione deviata §§ 4.2.4.1.2.3 - 4.2.4.1.2.6 - 4.2.4.1.2.7 - 4.2.4.1.2.8 NTC18

Verifiche eseguite utilizzando la formula conservativa (6.2) §6.2.1 EN 1993-1-1:2005.

X	Comb.	Sfruttamento	Classe	NEd	NRd	Rid. NRd da VEd	Mx,Ed	Mx,Rd	My,Ed	My,Rd	Rid. Mx,Rd da VEd	Rid. Mx,Rd da NEd	Rid. My,Rd da VEd	Rid. My,Rd da NEd	α	β	ρx	ρy	Verifica
0	SLV 3	0.436	1	-12836.8	172164.2	1	86651	1668434	243717	787347	1		1				0	0	Si

Verifica a presso/tenso flessione deviata SLD §§ 4.2.4.1.2.3 - 4.2.4.1.2.6 - 4.2.4.1.2.7 - 4.2.4.1.2.8 NTC18

Verifiche eseguite utilizzando la formula conservativa (6.2) §6.2.1 EN 1993-1-1:2005.

X	Comb.	Sfruttamento	Classe	NEd	NRd	Rid. NRd da VEd	Mx,Ed	Mx,Rd	My,Ed	My,Rd	Rid. Mx,Rd da VEd	Rid. Mx,Rd da NEd	Rid. My,Rd da VEd	Rid. My,Rd da NEd	α	β	ρx	ρy	Verifica
0	SLD 3	0.26	1	-11279.7	172164.2	1	35371	1668434	136220	787347	1		1				0	0	Si

Verifiche ad instabilità

Caratteristiche iniziali

Membratura principale per controllo snellezza; Calcolo di snellezze ed N critici condotti secondo gli assi principali;
Curva X: b; Curva Y: c; Svergolamento: Carico all'estradosso; Curva svergolamento: b;

Dati per instabilità attorno a x

Controllo della snellezza secondo §4.2.4.1.3.1 NTC18

Numero rit.	Presente	Ascissa	Campata	βx/m	Vincolo a entrambi estremi	λx/m	λVer
1	Si	0					
			1-2	1	Si	58.7	Si, (<200)
2	Si	590					

Dati per instabilità attorno a y

Controllo della snellezza secondo §4.2.4.1.3.1 NTC18

Numero rit.	Presente	Ascissa	Campata	βy/n	k,LT	kw,LT	Vincolo a entrambi estremi	λy/n	λVer
1	Si	0							
			1-2	1	1	1	Si	98.3	Si, (<200)
2	Si	590							

Verifica di stabilità per pressoflessione §C.4.2.4.1.3.3.2 NTC18

X	Comb.	Sfruttamento	Classe	NEd	NRk	Mx,Ed max	Mx,Rk	My,Ed max	My,Rk	χ,x	χ,y	kxx	kxy	kyx	kyy	χ,LT	Verifica
0	SLV 6	0.473	1	-10992.1	180772.4	404913	1751855.8	115232.4	826714.8	0.824	0.513	0.888	0.282	0.98	0.47	0.85	Si

Verifica di stabilità per pressoflessione SLD §C.4.2.4.1.3.3.2 NTC18

X	Comb.	Sfruttamento	Classe	NEd	NRk	Mx,Ed max	Mx,Rk	My,Ed max	My,Rk	χ,x	χ,y	kxx	kxy	kyx	kyy	χ,LT	Verifica
0	SLD 6	0.283	1	-10525	180772.4	165258.8	1751855.8	82983.1	826714.8	0.824	0.513	0.886	0.28	0.98	0.467	0.85	Si

Verifica di stabilità a taglio anima Y §4.2.4.1.2.4 [4.2.27] NTC18

η	hw	tw	hw/tw max	Verifica
1.2	20.6	0.8	60	Si

Verifica di stabilità a taglio anima Y SLD §4.2.4.1.2.4 [4.2.27] NTC18

η	hw	tw	hw/tw max	Verifica
1.2	20.6	0.8	60	Si

Verifiche a deformabilità

Mensola X: No; Mensola Y: No.
Verifiche non eseguite in quanto il superelemento è verticale.

Superelemento in acciaio "Piano 1"-"Piano 2" (484; 1480)

Caratteristiche del materiale

Acciaio: S235_1, fyk = 2350

Caratteristiche geometriche

Lunghezza: 590
Nodo iniziale: 346 Nodo finale: 376
Cerniera iniziale: No Cerniera finale: No
Sovraresistenza: 0% Sisma Z: No

Caratteristiche della sezione

Sezione	Rotazione	Area	Jx	Jy	ix	iy	Wx	Wy	Wplx	Wply
HEA240_1	0	76.92	7771.3	2768.96	10.05	6	675.77	230.75	745.47	351.79

Verifiche di resistenza

Verifiche a forza assiale §4.2.4.1.2.1 - §4.2.4.1.2.2 NTC18

X	Comb.	Sfruttamento	Classe	NEd	Nc,Rd	Nt,Rd	Riduzione da taglio	ρx	ρy	Verifica
0	SLU 6	0.077	1	-13275.1	172164.2		1	0	0	Si

Verifiche a forza assiale SLD §4.2.4.1.2.1 - §4.2.4.1.2.2 NTC18

X	Comb.	Sfruttamento	Classe	NEd	Nc,Rd	Nt,Rd	Riduzione da taglio	ρx	ρy	Verifica
0	SLD 1	0.061	1	-10429.7	172164.2		1	0	0	Si

Verifica a taglio X §4.2.4.1.2.4 NTC18

X	Comb.	Sfruttamento	VEd	Vc,Rd	Av	Interazione taglio-torsione	Riduzione torsione	Verifica
590	SLV 2	0.009	687.2	79435.1	61.47	Considerata	1	Si

Verifica a taglio X SLD §4.2.4.1.2.4 NTC18

X	Comb.	Sfruttamento	VEd	Vc,Rd	Av	Interazione taglio-torsione	Riduzione torsione	Verifica
295	SLD 2	0.005	383.3	79435.1	61.47	Considerata	1	Si

Verifica a taglio Y §4.2.4.1.2.4 NTC18

X	Comb.	Sfruttamento	VEd	Vc,Rd	Av	Interazione taglio-torsione	Riduzione torsione	Verifica
590	SLV 8	0.008	248.4	32645.8	25.26	Considerata	1	Si

Verifica a taglio Y SLD §4.2.4.1.2.4 NTC18

X	Comb.	Sfruttamento	VEd	Vc,Rd	Av	Interazione taglio-torsione	Riduzione torsione	Verifica
590	SLD 8	0.003	101.8	32645.8	25.26	Considerata	1	Si

Verifica a presso/tenso flessione retta X SLD §§ 4.2.4.1.2.3 - 4.2.4.1.2.6 - 4.2.4.1.2.7 - 4.2.4.1.2.8 NTC18

Verifiche eseguite utilizzando la formula conservativa (6.2) §6.2.1 EN 1993-1-1:2005.

X	Comb.	Sfruttamento	Classe	NEd	NRd	Rid. NRd da VEd	Mx,Ed	Mx,Rd	Rid. Mx,Rd da VEd	Rid. Mx,Rd da NEd	ρx	ρy	Verifica
334.3	SLD 7	0.139	1	-9440.3	172164.2	1	139965	1668434	1		0	0	Si

Verifica a presso/tenso flessione retta Y §§ 4.2.4.1.2.3 - 4.2.4.1.2.6 - 4.2.4.1.2.7 - 4.2.4.1.2.8 NTC18

Verifiche eseguite utilizzando la formula conservativa (6.2) §6.2.1 EN 1993-1-1:2005.

X	Comb.	Sfruttamento	Classe	NEd	NRd	Rid. NRd da VEd	My,Ed	My,Rd	Rid. My,Rd da VEd	Rid. My,Rd da NEd	ρx	ρy	Verifica
0	SLU 6	0.181	1	-13275.1	172164.2	1	81827	787347	1		0	0	Si

Verifica a presso/tenso flessione deviata §§ 4.2.4.1.2.3 - 4.2.4.1.2.6 - 4.2.4.1.2.7 - 4.2.4.1.2.8 NTC18

Verifiche eseguite utilizzando la formula conservativa (6.2) §6.2.1 EN 1993-1-1:2005.

X	Comb.	Sfruttamento	Classe	NEd	NRd	Rid. NRd da VEd	Mx,Ed	Mx,Rd	My,Ed	My,Rd	Rid. Mx,Rd da VEd	Rid. Mx,Rd da NEd	Rid. My,Rd da VEd	Rid. My,Rd da NEd	α	β	ρx	ρy	Verifica
0	SLV 3	0.423	1	-12068.5	172164.2	1	86570	1668434	236881	787347	1		1				0	0	Si

Verifica a presso/tenso flessione deviata SLD §§ 4.2.4.1.2.3 - 4.2.4.1.2.6 - 4.2.4.1.2.7 - 4.2.4.1.2.8 NTC18

Verifiche eseguite utilizzando la formula conservativa (6.2) §6.2.1 EN 1993-1-1:2005.

X	Comb.	Sfruttamento	Classe	NEd	NRd	Rid. NRd da VEd	Mx,Ed	Mx,Rd	My,Ed	My,Rd	Rid. Mx,Rd da VEd	Rid. Mx,Rd da NEd	Rid. My,Rd da VEd	Rid. My,Rd da NEd	α	β	ρx	ρy	Verifica
0	SLD 3	0.245	1	-10429.3	172164.2	1	35290	1668434	128572	787347	1		1				0	0	Si

Verifiche ad instabilità

Caratteristiche iniziali

Membratura principale per controllo snellezza; Calcolo di snellezze ed N critici condotti secondo gli assi principali;
Curva X: b; Curva Y: c; Svergolamento: Carico all'estradosso; Curva svergolamento: b;

Dati per instabilità attorno a x

Controllo della snellezza secondo §4.2.4.1.3.1 NTC18

Numero rit.	Presente	Ascissa	Campata	βx/m	Vincolo a entrambi estremi	λx/m	λVer
1	Si	0					
			1-2	1	Si	58.7	Si, (<200)
2	Si	590					

Dati per instabilità attorno a y

Controllo della snellezza secondo §4.2.4.1.3.1 NTC18

Numero rit.	Presente	Ascissa	Campata	βy/n	k,LT	kw,LT	Vincolo a entrambi estremi	λy/n	λVer
1	Si	0							
			1-2	1	1	1	Si	98.3	Si, (<200)
2	Si	590							

Verifica di stabilità per pressoflessione §C.4.2.4.1.3.3.2 NTC18

X	Comb.	Sfruttamento	Classe	NEd	NRk	Mx,Ed max	Mx,Rk	My,Ed max	My,Rk	χ,x	χ,y	kxx	kxy	kyx	kyy	χ,LT	Verifica
0	SLV 7	0.458	1	-10144.4	180772.4	404985.7	1751855.8	107484.7	826714.8	0.824	0.513	0.885	0.279	0.981	0.464	0.85	Si

Verifica di stabilità per pressoflessione SLD §C.4.2.4.1.3.3.2 NTC18

X	Comb.	Sfruttamento	Classe	NEd	NRk	Mx,Ed max	Mx,Rk	My,Ed max	My,Rk	χ,x	χ,y	kxx	kxy	kyx	kyy	χ,LT	Verifica
0	SLD 7	0.268	1	-9642.2	180772.4	165322.6	1751855.8	74963.4	826714.8	0.824	0.513	0.884	0.277	0.982	0.461	0.85	Si

Verifica di stabilità a taglio anima Y §4.2.4.1.2.4 [4.2.27] NTC18

η	hw	tw	hw/tw max	Verifica
1.2	20.6	0.8	60	Si

Verifica di stabilità a taglio anima Y SLD §4.2.4.1.2.4 [4.2.27] NTC18

η	hw	tw	hw/tw max	Verifica
1.2	20.6	0.8	60	Si

Verifiche a deformabilità

Mensola X: No; Mensola Y: No.
Verifiche non eseguite in quanto il superelemento è verticale.

Superelemento in acciaio "Piano 2"-"Piano 3" (484; 740)

Caratteristiche del materiale

Acciaio: S235_1, fyk = 2350

Caratteristiche geometriche

Lunghezza: 400
Nodo iniziale: 368 Nodo finale: 398
Cerniera iniziale: No Cerniera finale: No
Sovraresistenza: 0% Sisma Z: No

Caratteristiche della sezione

Sezione	Rotazione	Area	Jx	Jy	ix	iy	Wx	Wy	Wplx	Wply
HEA240_1	0	76.92	7771.3	2768.96	10.05	6	675.77	230.75	745.47	351.79

Verifiche di resistenza

Verifiche a forza assiale §4.2.4.1.2.1 - §4.2.4.1.2.2 NTC18

X	Comb.	Sfruttamento	Classe	NEd	Nc,Rd	Nt,Rd	Riduzione da taglio	ρx	ρy	Verifica
0	SLU 6	0.044	1	-7657.1	172164.2		1	0	0	Si

Verifiche a forza assiale SLD §4.2.4.1.2.1 - §4.2.4.1.2.2 NTC18

X	Comb.	Sfruttamento	Classe	NEd	Nc,Rd	Nt,Rd	Riduzione da taglio	ρx	ρy	Verifica
0	SLD 4	0.036	1	-6178.1	172164.2		1	0	0	Si

Verifica a taglio X §4.2.4.1.2.4 NTC18

X	Comb.	Sfruttamento	VEd	Vc,Rd	Av	Interazione taglio-torsione	Riduzione torsione	Verifica
400	SLV 4	0.023	1800.5	79403.1	61.47	Considerata	1	Si

Verifica a taglio X SLD §4.2.4.1.2.4 NTC18

X	Comb.	Sfruttamento	VEd	Vc,Rd	Av	Interazione taglio-torsione	Riduzione torsione	Verifica
200	SLD 2	0.012	921.5	79435.1	61.47	Considerata	1	Si

Verifica a taglio Y §4.2.4.1.2.4 NTC18

X	Comb.	Sfruttamento	VEd	Vc,Rd	Av	Interazione taglio-torsione	Riduzione torsione	Verifica
386.7	SLV 7	0.032	-1028.6	32633.6	25.26	Considerata	1	Si

Verifica a taglio Y SLD §4.2.4.1.2.4 NTC18

X	Comb.	Sfruttamento	VEd	Vc,Rd	Av	Interazione taglio-torsione	Riduzione torsione	Verifica
386.7	SLD 7	0.013	-420.1	32645.8	25.26	Considerata	1	Si

Verifica a torsione §4.2.4.1.2.5 NTC18

X	Comb.	Sfruttamento torsione	TEd	TRd	Riduzione taglio resistente	Sfruttamento taglio-torsione	τEd,totale	τRd	Verifica
400	SLV 12	0.001	49.2	32890.8	Considerata				Si

Verifica a presso/tenso flessione retta Y §§ 4.2.4.1.2.3 - 4.2.4.1.2.6 - 4.2.4.1.2.7 - 4.2.4.1.2.8 NTC18

Verifiche eseguite utilizzando la formula conservativa (6.2) §6.2.1 EN 1993-1-1:2005.

X	Comb.	Sfruttamento	Classe	NEd	NRd	Rid. NRd da VEd	My,Ed	My,Rd	Rid. My,Rd da VEd	Rid. My,Rd da NEd	ρx	ρy	Verifica
0	SLU 8	0.162	1	-7657.1	172164.2	1	92156	787347	1		0	0	Si

Verifica a presso/tenso flessione retta Y SLD §§ 4.2.4.1.2.3 - 4.2.4.1.2.6 - 4.2.4.1.2.7 - 4.2.4.1.2.8 NTC18

Verifiche eseguite utilizzando la formula conservativa (6.2) §6.2.1 EN 1993-1-1:2005.

X	Comb.	Sfruttamento	Classe	NEd	NRd	Rid. NRd da VEd	My,Ed	My,Rd	Rid. My,Rd da VEd	Rid. My,Rd da NEd	ρx	ρy	Verifica
400	SLD 2	0.272	1	-5936.3	172164.2	1	-187032	787347	1		0	0	Si

Verifica a presso/tenso flessione deviata §§ 4.2.4.1.2.3 - 4.2.4.1.2.6 - 4.2.4.1.2.7 - 4.2.4.1.2.8 NTC18

Verifiche eseguite utilizzando la formula conservativa (6.2) §6.2.1 EN 1993-1-1:2005.

X	Comb.	Sfruttamento	Classe	NEd	NRd	Rid. NRd da VEd	Mx,Ed	Mx,Rd	My,Ed	My,Rd	Rid. Mx,Rd da VEd	Rid. Mx,Rd da NEd	Rid. My,Rd da VEd	Rid. My,Rd da NEd	α	β	ρx	ρy	Verifica
0	SLV 2	0.567	1	-6918.3	172164.2	1	-128354	1668434	354434	787347	1		1				0	0	Si

Verifica a presso/tenso flessione deviata SLD §§ 4.2.4.1.2.3 - 4.2.4.1.2.6 - 4.2.4.1.2.7 - 4.2.4.1.2.8 NTC18

Verifiche eseguite utilizzando la formula conservativa (6.2) §6.2.1 EN 1993-1-1:2005.

X	Comb.	Sfruttamento	Classe	NEd	NRd	Rid. NRd da VEd	Mx,Ed	Mx,Rd	My,Ed	My,Rd	Rid. Mx,Rd da VEd	Rid. Mx,Rd da NEd	Rid. My,Rd da VEd	Rid. My,Rd da NEd	α	β	ρx	ρy	Verifica
0	SLD 2	0.298	1	-6177.9	172164.2	1	-52336	1668434	181686	787347	1		1				0	0	Si

Verifiche ad instabilità

Caratteristiche iniziali

Membratura principale per controllo snellezza; Calcolo di snellezze ed N critici condotti secondo gli assi principali;
Curva X: b; Curva Y: c; Svergolamento: Carico all'estradosso; Curva svergolamento: b;

Dati per instabilità attorno a x

Controllo della snellezza secondo §4.2.4.1.3.1 NTC18

Numero rit.	Presente	Ascissa	Campata	βx/m	Vincolo a entrambi estremi	λx/m	λVer
1	Si	0					
			1-2	1	Si	39.8	Si, (<200)
2	Si	400					

Dati per instabilità attorno a y

Controllo della snellezza secondo §4.2.4.1.3.1 NTC18

Numero rit.	Presente	Ascissa	Campata	βy/n	k,LT	kw,LT	Vincolo a entrambi estremi	λy/n	λVer
1	Si	0							
			1-2	1	1	1	Si	66.7	Si, (<200)
2	Si	400							

Verifica di stabilità per pressoflessione §C.4.2.4.1.3.3.2 NTC18

X	Comb.	Sfruttamento	Classe	NEd	NRk	Mx,Ed max	Mx,Rk	My,Ed max	My,Rk	χ,x	χ,y	kxx	kxy	kyx	kyy	χ,LT	Verifica
0	SLV 6	0.376	1	-6047.1	180772.4	407071.8	1751855.8	155722.6	826714.8	0.917	0.719	0.601	0.25	0.99	0.416	0.987	Si

Verifica di stabilità per pressoflessione SLD §C.4.2.4.1.3.3.2 NTC18

X	Comb.	Sfruttamento	Classe	NEd	NRk	Mx,Ed max	Mx,Rk	My,Ed max	My,Rk	χ,x	χ,y	kxx	kxy	kyx	kyy	χ,LT	Verifica
0	SLD 6	0.2	1	-5819.5	180772.4	166089.7	1751855.8	100427.3	826714.8	0.917	0.719	0.601	0.249	0.99	0.415	0.987	Si

Verifica di stabilità a taglio anima Y §4.2.4.1.2.4 [4.2.27] NTC18

η	hw	tw	hw/tw max	Verifica
1.2	20.6	0.8	60	Si

Verifica di stabilità a taglio anima Y SLD §4.2.4.1.2.4 [4.2.27] NTC18

η	hw	tw	hw/tw max	Verifica
1.2	20.6	0.8	60	Si

Verifiche a deformabilità

Mensola X: No; Mensola Y: No.
Verifiche non eseguite in quanto il superelemento è verticale.

Superelemento in acciaio "Piano 2"-"Piano 3" (484; 1110)

Caratteristiche del materiale

Acciaio: S235_1, fyk = 2350

Caratteristiche geometriche

Lunghezza: 400
Nodo iniziale: 372 Nodo finale: 402
Cerniera iniziale: No Cerniera finale: No
Sovraresistenza: 0% Sisma Z: No

Caratteristiche della sezione

Sezione	Rotazione	Area	Jx	Jy	ix	iy	Wx	Wy	Wplx	Wply
HEA240_1	0	76.92	7771.3	2768.96	10.05	6	675.77	230.75	745.47	351.79

Verifiche di resistenza

Verifiche a forza assiale §4.2.4.1.2.1 - §4.2.4.1.2.2 NTC18

X	Comb.	Sfruttamento	Classe	NEd	Nc,Rd	Nt,Rd	Riduzione da taglio	ρx	ρy	Verifica
0	SLU 8	0.048	1	-8211.1	172164.2		1	0	0	Si

Verifiche a forza assiale SLD §4.2.4.1.2.1 - §4.2.4.1.2.2 NTC18

X	Comb.	Sfruttamento	Classe	NEd	Nc,Rd	Nt,Rd	Riduzione da taglio	ρx	ρy	Verifica
0	SLD 2	0.038	1	-6540.6	172164.2		1	0	0	Si

Verifica a taglio X §4.2.4.1.2.4 NTC18

X	Comb.	Sfruttamento	VEd	Vc,Rd	Av	Interazione taglio-torsione	Riduzione torsione	Verifica
400	SLV 4	0.022	1759.5	79403	61.47	Considerata	1	Si

Verifica a taglio X SLD §4.2.4.1.2.4 NTC18

X	Comb.	Sfruttamento	VEd	Vc,Rd	Av	Interazione taglio-torsione	Riduzione torsione	Verifica
26.7	SLD 4	0.012	933	79435.1	61.47	Considerata	1	Si

Verifica a taglio Y §4.2.4.1.2.4 NTC18

X	Comb.	Sfruttamento	VEd	Vc,Rd	Av	Interazione taglio-torsione	Riduzione torsione	Verifica
226.7	SLV 10	0.032	1028	32633.6	25.26	Considerata	1	Si

Verifica a taglio Y SLD §4.2.4.1.2.4 NTC18

X	Comb.	Sfruttamento	VEd	Vc,Rd	Av	Interazione taglio-torsione	Riduzione torsione	Verifica
226.7	SLD 10	0.013	419.6	32645.8	25.26	Considerata	1	Si

Verifica a torsione §4.2.4.1.2.5 NTC18

X	Comb.	Sfruttamento torsione	TEd	TRd	Riduzione taglio resistente	Sfruttamento taglio-torsione	τEd,totale	τRd	Verifica
400	SLV 12	0.002	49.4	32890.8	Considerata				Si

Verifica a presso/tenso flessione retta X SLD §§ 4.2.4.1.2.3 - 4.2.4.1.2.6 - 4.2.4.1.2.7 - 4.2.4.1.2.8 NTC18

Verifiche eseguite utilizzando la formula conservativa (6.2) §6.2.1 EN 1993-1-1:2005.

X	Comb.	Sfruttamento	Classe	NEd	NRd	Rid. NRd da VEd	Mx,Ed	Mx,Rd	Rid. Mx,Rd da VEd	Rid. Mx,Rd da NEd	ρx	ρy	Verifica
200	SLD 6	0.085	1	-6078.5	172164.2	1	-82253	1668434	1		0	0	Si

Verifica a presso/tenso flessione retta Y §§ 4.2.4.1.2.3 - 4.2.4.1.2.6 - 4.2.4.1.2.7 - 4.2.4.1.2.8 NTC18

Verifiche eseguite utilizzando la formula conservativa (6.2) §6.2.1 EN 1993-1-1:2005.

X	Comb.	Sfruttamento	Classe	NEd	NRd	Rid. NRd da VEd	My,Ed	My,Rd	Rid. My,Rd da VEd	Rid. My,Rd da NEd	ρx	ρy	Verifica
0	SLU 8	0.183	1	-8211.1	172164.2	1	106337	787347	1		0	0	Si

Verifica a presso/tenso flessione retta Y SLD §§ 4.2.4.1.2.3 - 4.2.4.1.2.6 - 4.2.4.1.2.7 - 4.2.4.1.2.8 NTC18

Verifiche eseguite utilizzando la formula conservativa (6.2) §6.2.1 EN 1993-1-1:2005.

X	Comb.	Sfruttamento	Classe	NEd	NRd	Rid. NRd da VEd	My,Ed	My,Rd	Rid. My,Rd da VEd	Rid. My,Rd da NEd	ρx	ρy	Verifica
400	SLD 2	0.278	1	-6299	172164.2	1	-189798	787347	1		0	0	Si

Verifica a presso/tenso flessione deviata §§ 4.2.4.1.2.3 - 4.2.4.1.2.6 - 4.2.4.1.2.7 - 4.2.4.1.2.8 NTC18

Verifiche eseguite utilizzando la formula conservativa (6.2) §6.2.1 EN 1993-1-1:2005.

X	Comb.	Sfruttamento	Classe	NEd	NRd	Rid. NRd da VEd	Mx,Ed	Mx,Rd	My,Ed	My,Rd	Rid. Mx,Rd da VEd	Rid. Mx,Rd da NEd	Rid. My,Rd da VEd	Rid. My,Rd da NEd	α	β	ρx	ρy	Verifica
0	SLV 2	0.558	1	-7237.8	172164.2	1	-128434	1668434	345577	787347	1		1				0	0	Si

Verifica a presso/tenso flessione deviata SLD §§ 4.2.4.1.2.3 - 4.2.4.1.2.6 - 4.2.4.1.2.7 - 4.2.4.1.2.8 NTC18

Verifiche eseguite utilizzando la formula conservativa (6.2) §6.2.1 EN 1993-1-1:2005.

X	Comb.	Sfruttamento	Classe	NEd	NRd	Rid. NRd da VEd	Mx,Ed	Mx,Rd	My,Ed	My,Rd	Rid. Mx,Rd da VEd	Rid. Mx,Rd da NEd	Rid. My,Rd da VEd	Rid. My,Rd da NEd	α	β	ρx	ρy	Verifica
0	SLD 2	0.303	1	-6540.6	172164.2	1	-52419	1668434	183556	787347	1		1				0	0	Si

Verifiche ad instabilità

Caratteristiche iniziali

Membratura principale per controllo snellezza; Calcolo di snellezze ed N critici condotti secondo gli assi principali;
Curva X: b; Curva Y: c; Svergolamento: Carico all'estradosso; Curva svergolamento: b;

Dati per instabilità attorno a x

Controllo della snellezza secondo §4.2.4.1.3.1 NTC18

Numero rit.	Presente	Ascissa	Campata	βx/m	Vincolo a entrambi estremi	λx/m	λVer
1	Si	0					
			1-2	1	Si	39.8	Si, (<200)
2	Si	400					

Dati per instabilità attorno a y

Controllo della snellezza secondo §4.2.4.1.3.1 NTC18

Numero rit.	Presente	Ascissa	Campata	βy/n	k,LT	kw,LT	Vincolo a entrambi estremi	λy/n	λVer
1	Si	0							
			1-2	1	1	1	Si	66.7	Si, (<200)
2	Si	400							

Verifica di stabilità per pressoflessione §C.4.2.4.1.3.3.2 NTC18

X	Comb.	Sfruttamento	Classe	NEd	NRk	Mx,Ed max	Mx,Rk	My,Ed max	My,Rk	χ,x	χ,y	kxx	kxy	kyx	kyy	χ,LT	Verifica
0	SLV 6	0.38	1	-6408.4	180772.4	407139.1	1751855.8	157817.7	826714.8	0.917	0.719	0.601	0.25	0.989	0.417	0.987	Si

Verifica di stabilità per pressoflessione SLD §C.4.2.4.1.3.3.2 NTC18

X	Comb.	Sfruttamento	Classe	NEd	NRk	Mx,Ed max	Mx,Rk	My,Ed max	My,Rk	χ,x	χ,y	kxx	kxy	kyx	kyy	χ,LT	Verifica
0	SLD 6	0.207	1	-6199.2	180772.4	166167.2	1751855.8	107205.4	826714.8	0.917	0.719	0.601	0.25	0.99	0.416	0.987	Si

Verifica di stabilità a taglio anima Y §4.2.4.1.2.4 [4.2.27] NTC18

η	hw	tw	hw/tw max	Verifica
1.2	20.6	0.8	60	Si

Verifica di stabilità a taglio anima Y SLD §4.2.4.1.2.4 [4.2.27] NTC18

η	hw	tw	hw/tw max	Verifica
1.2	20.6	0.8	60	Si

Verifiche a deformabilità

Mensola X: No; Mensola Y: No.
Verifiche non eseguite in quanto il superelemento è verticale.

Superelemento in acciaio "Piano 2"-"Piano 3" (484; 1480)

Caratteristiche del materiale

Acciaio: S235_1, fyk = 2350

Caratteristiche geometriche

Lunghezza: 400
Nodo iniziale: 376 Nodo finale: 406
Cerniera iniziale: No Cerniera finale: No
Sovraresistenza: 0% Sisma Z: No

Caratteristiche della sezione

Sezione	Rotazione	Area	Jx	Jy	ix	iy	Wx	Wy	Wplx	Wply
HEA240_1	0	76.92	7771.3	2768.96	10.05	6	675.77	230.75	745.47	351.79

Verifiche di resistenza

Verifiche a forza assiale §4.2.4.1.2.1 - §4.2.4.1.2.2 NTC18

X	Comb.	Sfruttamento	Classe	NEd	Nc,Rd	Nt,Rd	Riduzione da taglio	ρx	ρy	Verifica
0	SLU 8	0.044	1	-7656.3	172164.2		1	0	0	Si

Verifiche a forza assiale SLD §4.2.4.1.2.1 - §4.2.4.1.2.2 NTC18

X	Comb.	Sfruttamento	Classe	NEd	Nc,Rd	Nt,Rd	Riduzione da taglio	ρx	ρy	Verifica
0	SLD 1	0.036	1	-6177.5	172164.2		1	0	0	Si

Verifica a taglio X §4.2.4.1.2.4 NTC18

X	Comb.	Sfruttamento	VEd	Vc,Rd	Av	Interazione taglio-torsione	Riduzione torsione	Verifica
0	SLV 1	0.023	1800.3	79403	61.47	Considerata	1	Si

Verifica a taglio X SLD §4.2.4.1.2.4 NTC18

X	Comb.	Sfruttamento	VEd	Vc,Rd	Av	Interazione taglio-torsione	Riduzione torsione	Verifica
386.7	SLD 3	0.012	921.3	79435.1	61.47	Considerata	1	Si

Verifica a taglio Y §4.2.4.1.2.4 NTC18

X	Comb.	Sfruttamento	VEd	Vc,Rd	Av	Interazione taglio-torsione	Riduzione torsione	Verifica
226.7	SLV 10	0.032	1028.6	32633.6	25.26	Considerata	1	Si

Verifica a taglio Y SLD §4.2.4.1.2.4 NTC18

X	Comb.	Sfruttamento	VEd	Vc,Rd	Av	Interazione taglio-torsione	Riduzione torsione	Verifica
226.7	SLD 10	0.013	420.1	32645.8	25.26	Considerata	1	Si

Verifica a torsione §4.2.4.1.2.5 NTC18

X	Comb.	Sfruttamento torsione	TEd	TRd	Riduzione taglio resistente	Sfruttamento taglio-torsione	τEd,totale	τRd	Verifica
133.3	SLV 5	0.001	-49.3	32890.8	Considerata				Si

Verifica a presso/tenso flessione retta Y §§ 4.2.4.1.2.3 - 4.2.4.1.2.6 - 4.2.4.1.2.7 - 4.2.4.1.2.8 NTC18

Verifiche eseguite utilizzando la formula conservativa (6.2) §6.2.1 EN 1993-1-1:2005.

X	Comb.	Sfruttamento	Classe	NEd	NRd	Rid. NRd da VEd	My,Ed	My,Rd	Rid. My,Rd da VEd	Rid. My,Rd da NEd	ρx	ρy	Verifica
0	SLU 8	0.161	1	-7656.3	172164.2	1	92018	787347	1		0	0	Si

Verifica a presso/tenso flessione retta Y SLD §§ 4.2.4.1.2.3 - 4.2.4.1.2.6 - 4.2.4.1.2.7 - 4.2.4.1.2.8 NTC18

Verifiche eseguite utilizzando la formula conservativa (6.2) §6.2.1 EN 1993-1-1:2005.

X	Comb.	Sfruttamento	Classe	NEd	NRd	Rid. NRd da VEd	My,Ed	My,Rd	Rid. My,Rd da VEd	Rid. My,Rd da NEd	ρx	ρy	Verifica
400	SLD 3	0.272	1	-5935.8	172164.2	1	-187044	787347	1		0	0	Si

Verifica a presso/tenso flessione deviata §§ 4.2.4.1.2.3 - 4.2.4.1.2.6 - 4.2.4.1.2.7 - 4.2.4.1.2.8 NTC18

Verifiche eseguite utilizzando la formula conservativa (6.2) §6.2.1 EN 1993-1-1:2005.

X	Comb.	Sfruttamento	Classe	NEd	NRd	Rid. NRd da VEd	Mx,Ed	Mx,Rd	My,Ed	My,Rd	Rid. Mx,Rd da VEd	Rid. Mx,Rd da NEd	Rid. My,Rd da VEd	Rid. My,Rd da NEd	α	β	ρx	ρy	Verifica
0	SLV 3	0.567	1	-6917.7	172164.2	1	128353	1668434	354347	787347	1		1				0	0	Si

Verifica a presso/tenso flessione deviata SLD §§ 4.2.4.1.2.3 - 4.2.4.1.2.6 - 4.2.4.1.2.7 - 4.2.4.1.2.8 NTC18

Verifiche eseguite utilizzando la formula conservativa (6.2) §6.2.1 EN 1993-1-1:2005.

X	Comb.	Sfruttamento	Classe	NEd	NRd	Rid. NRd da VEd	Mx,Ed	Mx,Rd	My,Ed	My,Rd	Rid. Mx,Rd da VEd	Rid. Mx,Rd da NEd	Rid. My,Rd da VEd	Rid. My,Rd da NEd	α	β	ρx	ρy	Verifica
0	SLD 3	0.298	1	-6177.3	172164.2	1	52334	1668434	181599	787347	1		1				0	0	Si

Verifiche ad instabilità

Caratteristiche iniziali

Membratura principale per controllo snellezza; Calcolo di snellezze ed N critici condotti secondo gli assi principali;
Curva X: b; Curva Y: c; Svergolamento: Carico all'estradosso; Curva svergolamento: b;

Dati per instabilità attorno a x

Controllo della snellezza secondo §4.2.4.1.3.1 NTC18

Numero rit.	Presente	Ascissa	Campata	βx/m	Vincolo a entrambi estremi	λx/m	λVer
1	Si	0					
			1-2	1	Si	39.8	Si, (<200)
2	Si	400					

Dati per instabilità attorno a y

Controllo della snellezza secondo §4.2.4.1.3.1 NTC18

Numero rit.	Presente	Ascissa	Campata	βy/n	k,LT	kw,LT	Vincolo a entrambi estremi	λy/n	λVer
1	Si	0							
			1-2	1	1	1	Si	66.7	Si, (<200)
2	Si	400							

Verifica di stabilità per pressoflessione §C.4.2.4.1.3.3.2 NTC18

X	Comb.	Sfruttamento	Classe	NEd	NRk	Mx,Ed max	Mx,Rk	My,Ed max	My,Rk	χ,x	χ,y	kxx	kxy	kyx	kyy	χ,LT	Verifica
0	SLV 7	0.376	1	-6046.5	180772.4	407070.3	1751855.8	155734.4	826714.8	0.917	0.719	0.601	0.25	0.99	0.416	0.987	Si

Verifica di stabilità per pressoflessione SLD §C.4.2.4.1.3.3.2 NTC18

X	Comb.	Sfruttamento	Classe	NEd	NRk	Mx,Ed max	Mx,Rk	My,Ed max	My,Rk	χ,x	χ,y	kxx	kxy	kyx	kyy	χ,LT	Verifica
0	SLD 7	0.2	1	-5818.9	180772.4	166087.1	1751855.8	100439	826714.8	0.917	0.719	0.601	0.249	0.99	0.415	0.987	Si

Verifica di stabilità a taglio anima Y §4.2.4.1.2.4 [4.2.27] NTC18

η	hw	tw	hw/tw max	Verifica
1.2	20.6	0.8	60	Si

Verifica di stabilità a taglio anima Y SLD §4.2.4.1.2.4 [4.2.27] NTC18

η	hw	tw	hw/tw max	Verifica
1.2	20.6	0.8	60	Si

Verifiche a deformabilità

Mensola X: No; Mensola Y: No.
Verifiche non eseguite in quanto il superelemento è verticale.